

Univerza  
v Ljubljani

Fakulteta  
*za gradbeništvo  
in geodezijo*



Jamova cesta 2  
1000 Ljubljana, Slovenija  
<http://www3.fgg.uni-lj.si/>

**DRUGG** – Digitalni repozitorij UL FGG  
<http://drugg.fgg.uni-lj.si/>

To je izvirna različica zaključnega dela.

Prosimo, da se pri navajanju sklicujte na  
bibliografske podatke, kot je navedeno:

Ribnikar, M., 2013. Analiza karakterističnih vrednosti merjenih pretokov. Diplomska naloga. Ljubljana, Univerza v Ljubljani, Fakulteta za gradbeništvo in geodezijo. (mentorica Šraj, M., somentor Brilly, M.): 47 str.

University  
of Ljubljana

Faculty of  
*Civil and Geodetic  
Engineering*



Jamova cesta 2  
SI – 1000 Ljubljana, Slovenia  
<http://www3.fgg.uni-lj.si/en/>

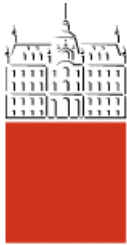
**DRUGG** – The Digital Repository  
<http://drugg.fgg.uni-lj.si/>

This is original version of final thesis.

When citing, please refer to the publisher's  
bibliographic information as follows:

Ribnikar, M., 2013. Analiza karakterističnih vrednosti merjenih pretokov. B.Sc. Thesis. Ljubljana, University of Ljubljana, Faculty of civil and geodetic engineering. (supervisor Šraj, M., co-supervisor Brilly, M.): 47 pp.

Univerza  
v Ljubljani  
*Fakulteta za  
gradbeništvo in  
geodezijo*



Jamova 2  
1000 Ljubljana, Slovenija  
telefon (01) 47 68 500  
faks (01) 42 50 681  
fgg@fgg.uni-lj.si

**PRVOSTOPENJSKI ŠTUDIJSKI  
PROGRAM VODARSTVO IN  
OKOLJSKO INŽENIRSTVO (UN)**

Kandidatka:

Diplomska naloga št.: 18/B-VOI

Graduation thesis No.: 18/B-VOI

**Mentorica:**

**Predsednik komisije:**

... . dr. ) ...

**Somentor:**

Ljubljana, 24. 09. 2013

## STRAN ZA POPRAVKE

**Stran z napako**

**Vrstica z napako**

**Namesto**

**Naj bo**

## **IZJAVA O AVTORSTVU**

Podpisana Mateja Ribnikar izjavljam, da sem avtorica diplomske naloge z naslovom »Analiza karakterističnih vrednosti merjenih pretokov«.

Izjavljam, da je elektronska različica v vsem enaka tiskani različici.

Izjavljam, da dovoljujem objavo elektronske različice v repozitoriju UL FGG.

Ljubljana, september 2013.

Mateja Ribnikar

## BIBLIOGRAFSKO – DOKUMENTACIJSKA STRAN IN IZVLEČEK

|                         |  |
|-------------------------|--|
| <b>UDK:</b>             | <b>556.048:556.06(043.2)</b>   |
| <b>Avtor:</b>           | <b>Mateja Ribnikar</b>   |
| <b>Mentor:</b>          | <b>doc. dr. Mojca Šraj</b>   |
| <b>Somentor:</b>        | <b>prof. dr. Mitja Brilly</b>  |
| <b>Naslov:</b>          | <b>Analiza karakterističnih vrednosti merjenih pretokov</b>                                  |
| <b>Tip dokumenta:</b>   | <b>diplomsko delo</b>  |
| <b>Obseg in oprema:</b> | <b>47 str., 17 pregl., 21 sl., 28 graf.</b>  |
| <b>Ključne besede:</b>  | <b>Analiza pretokov, krivulja trajanja, verjetnostna analiza, regresija, vsotna krivulja</b> |

### Izvleček

V hidrologiji s pomočjo različnih hidroloških in statističnih metod analiziramo hidrološke podatke in tako določamo karakteristične vrednosti, ugotavljamo razmerja med njimi ter določamo lastnosti nizov podatkov oziroma vodomernih postaj.

V prvem delu naloge smo teoretično predstavili karakteristične vrednosti merjenih pretokov. Opisali smo statistično analizo vzorca, krivuljo trajanja, analizo visokovodnih konic, analizo časovnih vrst, regresijo ter dvojno vsotno krivuljo.

V drugem delu naloge smo te metode uporabili na vodomernih postajah Moste na Ljubljanici za obdobje od leta 1924 do 2011 in Dvor na Gradaščici za obdobje od leta 1979 do 2011. Pri analizi smo ugotovili, da sta maksimalni vrednosti pretoka pri obeh postajah posledica istega dogodka, in sicer povodnji septembra leta 2010. Izdelali smo tudi analizo visokovodnih konic s pomočjo letnih maksimumov ter ugotavliali, katere porazdelitve prinašajo največje in najmanjše ocene pretokov. Pri analizi časovnih vrst smo opravili letne ter mesečne analize, ter jih med seboj primerjali. Na koncu pa je sledila še regresija, kjer smo ugotovili precej dobro povezanost med podatki obeh postaj s korelacijskim koeficientom 0,75.

## BIBLIOGRAPHIC – DOCUMENTALISTIC INFORMATION

|                         |   |
|-------------------------|---|
| <b>UDC:</b>             | <b>556.048:556.06(043.2)</b>  |
| <b>Author:</b>          | <b>Mateja Ribnikar</b>  |
| <b>Supervisor:</b>      | <b>Assist. Prof. Mojca Šraj, PhD.</b>   |
| <b>Cosupervisor:</b>    | <b>Prof. Mitja Brilly, PhD.</b>   |
| <b>Title:</b>           | <b>Analysis of characteristic values of measured discharge data</b>                                   |
| <b>Document type:</b>   | <b>Graduation Thesis – University studies</b>   |
| <b>Scope and tools:</b> | <b>47 p., 17 tab., 21 fig., 28 ch.</b>  |
| <b>Keywords:</b>        | <b>Discharge data analysis, flow duration curve, flood frequency analysis, regression, mass curve</b> |

### Abstract

In hydrology data could be analyzed using hydrological and statistical methods to determine characteristic values, relations between those values and properties of data series or gauging stations.

In the theoretical part of the thesis characteristic values of measured river flows were presented. Basic statistical analysis of the sample, flow duration curve, flood frequency analysis, analysis of time series, regression line and double mass curve were described.

In the second part of this thesis these methods were applied on the data of the gauging station Moste on river Ljubljanica for the period 1924 to 2011 and for the gauging station Dvor on river Gradaščica for the period 1979 to 2011. Analyses showed that maximal values of discharges at both stations were part of same event. This flood event took place on September 2010. Furthermore flood frequency analysis was made to determine the return period of high flows. The results of different distributions were compared. Time series analyses were made with monthly and yearly data and compared with each other. At the end also regression analysis was done which showed strong connection between flows from both gauging stations with the correlation coefficient of 0.75..

## ZAHVALA

Za pomoč pri nastajanju diplomske naloge se iskreno zahvaljujem mentorici doc. dr. Mojci Šraj. Prav tako bi se rada zahvalila svoji družini za izkazano podporo in spodbujanje v času študija.

## KAZALO VSEBINE

|  |             |
|--|-------------|
| <b>KAZALO PREGLEDNIC .....</b>   | <b>VIII</b> |
| <b>KAZALO SLIK .....</b>   | <b>IX</b>   |
| <b>KAZALO GRAFIKONOV.....</b>  | <b>X</b>    |
| <b>1 UVOD .....</b>  | <b>1</b>    |
| <b>1.1 Cilj diplomske naloge .....</b>   | <b>1</b>    |
| <b>2 KARAKTERISTIČNE VREDNOSTI MERJENIH PRETOKOV .....</b>   | <b>2</b>    |
| <b>2.1 Računanje osnovnih statistik vzorca.....</b>  | <b>2</b>    |
| <b>2.2 Empirična porazdelitev pogostosti (krivulja trajanja) .....</b>   | <b>3</b>    |
| <b>2.3 Verjetnostna analiza pretokov .....</b>   | <b>4</b>    |
| <b>2.3.1 Metoda letnih maksimumov .....</b>  | <b>5</b>    |
| <b>2.3.1.1 Normalna porazdelitev.....</b>  | <b>5</b>    |
| <b>2.3.1.2 Logaritemsko normalna porazdelitev.....</b>   | <b>6</b>    |
| <b>2.3.1.3 Gumbelova porazdelitev .....</b>  | <b>6</b>    |
| <b>2.3.1.4 Pearsonova porazdelitev tipa 3.....</b>   | <b>7</b>    |
| <b>2.3.1.5 Logaritemsko Pearsonova porazdelitev tipa 3 .....</b>   | <b>8</b>    |
| <b>2.3.2 POT metoda .....</b>  | <b>8</b>    |
| <b>2.4 Analiza časovnih vrst .....</b>   | <b>9</b>    |
| <b>2.4.1 Drseča sredina.....</b>   | <b>9</b>    |
| <b>2.4.2 Vsotna krivulja in vsotna krivulja odstopanj .....</b>  | <b>10</b>   |
| <b>2.5 Regresija in regresijska krivulja .....</b>   | <b>11</b>   |
| <b>2.5.1 Linearna regresija .....</b>  | <b>11</b>   |
| <b>2.6 Analiza dvojne vsotne krivulje .....</b>  | <b>14</b>   |
| <b>3 IZRAČUN KARAKTERISTIČNIH VREDNOSTI PRETOKOV NA VODOMERNIH POSTAJAH LJUBLJANICA (MОСТЕ) IN GRADAŠČICA (DVOR) .....</b> | <b>17</b>   |
| <b>3.1 Vhodni podatki .....</b>  | <b>17</b>   |
| <b>3.2 Izračun osnovnih statistik vzorca.....</b>  | <b>19</b>   |
| <b>3.3 Empirična porazdelitev pogostosti (krivulja trajanja) .....</b>   | <b>20</b>   |
| <b>3.4 Verjetnostne analize visokovodnih konic .....</b>   | <b>22</b>   |
| <b>3.5 Analiza časovnih vrst .....</b>   | <b>25</b>   |

|  |           |
|--|-----------|
| <b>3.5.1 Letne analize .....</b>   | <b>25</b> |
| <b>3.5.1.1 Povprečni letni pretok.....</b>   | <b>25</b> |
| <b>3.5.1.2 Razvrščeni povprečni letni pretok .....</b>   | <b>27</b> |
| <b>3.5.1.3 Spreminjanje povprečnega letnega pretoka okoli dolgoletnega povprečja za obdobje meritev.....</b> | <b>28</b> |
| <b>3.5.1.4 Drseča sredina .....</b>  | <b>29</b> |
| <b>3.5.1.5 Letna vsotna krivulja .....</b>   | <b>30</b> |
| <b>3.5.2 Mesečne analize .....</b>   | <b>31</b> |
| <b>3.5.2.1 Povprečni mesečni pretok.....</b>   | <b>31</b> |
| <b>3.5.2.2 Izračun osnovnih mesečnih statistik .....</b>   | <b>33</b> |
| <b>3.5.2.3 Mesečna vsotna krivulja .....</b>   | <b>35</b> |
| <b>3.6 Regresija.....</b>  | <b>36</b> |
| <b>4 PRIMERJAVA IN ANALIZA REZULTATOV .....</b>  | <b>38</b> |
| <b>4.1 Analiza osnovnih statistik vzorca.....</b>  | <b>38</b> |
| <b>4.2 Analiza empirične porazdelitve pogostosti (krivulja trajanja) .....</b>                               | <b>40</b> |
| <b>4.3 Primerjava rezultatov verjetnostnih analiz visokovodnih konic .....</b>                               | <b>40</b> |
| <b>4.4 Analiza časovnih vrst .....</b>   | <b>41</b> |
| <b>4.4.1 Letne analize .....</b>   | <b>41</b> |
| <b>4.4.1.1 Primerjava povprečnega letnega pretoka .....</b>  | <b>41</b> |
| <b>4.4.1.2 Analiza razvrščenih povprečnih letnih pretokov.....</b>   | <b>42</b> |
| <b>4.4.1.3 Analiza spremenjanja povprečnega letnega pretoka okoli dolgoletnega povprečja .....</b>           | <b>42</b> |
| <b>4.4.1.4 Analiza drseče sredine .....</b>  | <b>43</b> |
| <b>4.4.2 Mesečne analize .....</b>   | <b>43</b> |
| <b>4.4.2.1 Analiza povprečnega mesečnega pretoka.....</b>  | <b>43</b> |
| <b>4.4.2.2 Analiza osnovnih mesečnih.....</b>  | <b>43</b> |
| <b>4.4.2.3 Analiza mesečne vsotne krivulje .....</b>   | <b>44</b> |
| <b>4.5 Analiza regresije.....</b>  | <b>44</b> |
| <b>5 ZAKLJUČKI .....</b>   | <b>45</b> |
| <b>VIRI.....</b>   | <b>46</b> |

## KAZALO PREGLEDNIC

|   |    |
|---|----|
| Preglednica 1: Osnovna statistična analiza pretokov za vodomerno postajo Moste (1924-2011) .....  | 19 |
| Preglednica 2: Osnovna statistična analiza pretokov za vodomerno postajo Dvor (1979-2011) .....   | 19 |
| Preglednica 3: Vrednosti letnih maksimumov za obdobje od leta 1924 do 2011 na vodomerni postaji<br>Moste na reki Ljubljanici (ARSO, 2013) .....   | 22 |
| Preglednica 4: Prikaz rezultatov verjetnostne analize za povratni dobi 10 in 100 let .....  | 23 |
| Preglednica 5: Vrednosti letnih maksimumov za obdobje od leta 1979 do 2011 na vodomerni postaji<br>Dvor na reki Gradaščici (ARSO, 2013) .....   | 24 |
| Preglednica 6: Prikaz rezultatov za povratni dobi 10 in 100 let .....   | 24 |
| Preglednica 7: Povprečni letni pretoki (hidrološko leto) za vodomerno postajo Moste.....  | 25 |
| Preglednica 8: Povprečni letni pretok za vodomerno postajo Dvor .....   | 26 |
| Preglednica 9: Dolgoletni povprečni pretok za vodomerni postaji Moste in Dvor .....   | 28 |
| Preglednica 10: Povprečni mesečni pretoki za vodomerno postajo Moste (1924-2011).....   | 31 |
| Preglednica 11: Povprečni mesečni pretoki za vodomerno postajo Dvor (1979-2011) .....   | 32 |
| Preglednica 12: Izračun osnovnih mesečnih statistik pretokov za vodomerno postajo Moste.....  | 33 |
| Preglednica 13: Izračun osnovnih mesečnih statistik pretokov za vodomerno postajo Dvor.....   | 34 |
| Preglednica 14: Koreacijski koeficient $r$ , kot $\gamma$ ter regresijski koeficienti $a_1$ , $a_2$ , $b_1$ in $b_2$ za podatke<br>povprečnih letnih pretokov vodomernih postaj Moste in Dvor (1981-2011) ..... | 36 |
| Preglednica 17: Primerjava ocenjenih vrednosti pretokov z 10- in 100-letno povratno dobo za<br>vodomerni postaji Moste in Dvor .....  | 40 |

## KAZALO SLIK

|   |    |
|---|----|
| Slika 1: Krivulja trajanja .....  | 3  |
| Slika 2: Gostota verjetnosti normalne porazdelitve za različne vrednosti parametrov (Normalna porazdelitev, 2013).....      | 5  |
| Slika 3: Funkcija gostote verjetnosti za logaritemsko normalno porazdelitev (Logaritemsko normalna porazdelitev, 2013)..... | 6  |
| Slika 4: Funkcija gostote verjetnosti za Gumbelovo porazdelitev (Gumbelova porazdelitev, 2013) ....                         | 7  |
| Slika 5: Funkcija gostote verjetnosti za porazdelitev gama (Porazdelitev gama, 2013) .....                                  | 8  |
| Slika 6: POT metoda (Bengston, 2011) .....  | 8  |
| Slika 7: Graf drseče sredine (Oregon State University, 2005) .....  | 10 |
| Slika 8: Graf vsotne krivulje (Raghunath, 2006) .....   | 11 |
| Slika 9: Graf vsotne krivulje odstopanj (Raghunath, 2006) .....   | 11 |
| Slika 10: Primeri razsevnih grafov in zvezami med spremenljivkama X in Y .....  | 13 |
| Slika 11: Primeri korelacije (United States Department of Agriculture, 2000) .....  | 13 |
| Slika 12: Regresijski premici .....   | 14 |
| Slika 13: Graf dvojne vsotne krivulje (Searcy in Hardison, 2011) .....  | 16 |
| Slika 14: Mreža vodomernih postaj (ARSO, 2008) .....  | 17 |
| Slika 15: Dinarsko dežno-snežni režim (Frantar in Hrvatin, 2008) .....  | 18 |
| Slika 16: Mesto vodomerne postaje Moste (levo) in dvor (desno) (ARSO, 2013) .....   | 18 |
| Slika 18: Vsota 4-dnevnih padavin od 16. do 20. septembra 2010 (Ministrstvo za okolje in prostor RS, 2010).....             | 38 |
| Slika 19: Hidrogram pretoka za reko Ljubljanico (Ministrstvo za okolje in prostor RS, 2010) .....                           | 39 |
| Slika 20: Hidrogram pretoka za reko Gradaščico (Ministrstvo za okolje in prostor RS, 2010).....                             | 39 |
| Slika 21: Povratne dobe pretokov rek od 16. do 19. septembra 2010 (Ministrstvo za okolje in prostor RS, 2010) .....         | 39 |

## KAZALO GRAFIKONOV

|   |    |
|---|----|
| Grafikon 1: Hidrogram za vodomerno postajo Moste (1924-2011) .....  | 19 |
| Grafikon 2: Hidrogram za vodomerno postajo Dvor (1979-2011).....  | 20 |
| Grafikon 3: Krivulja trajanja za vodomerno postajo Moste za obdobje od leta 1924 do 2011 .....              | 21 |
| Grafikon 4: Krivulja trajanja za vodomerno postajo Dvor za obdobje od leta 1979 do 2011 .....               | 21 |
| Grafikon 5: Brezdimenzijski krivulji trajanja za vodomerni postaji Moste in Dvor .....                      | 21 |
| Grafikon 6: Grafični prikaz rezultatov verjetnostne analize za vodomerno postajo Moste (1924-2011)<br>..... | 23 |
| Grafikon 7: Grafični prikaz rezultatov verjetnostne analize za vodomerno postajo Dvor (1979-2011)24         |    |
| Grafikon 8: Povprečni letni pretok (hidrološko leto) za vodomerno postajo Moste (1924-2010) .....           | 26 |
| Grafikon 9: Povprečni letni pretok (hidrološko leto) za vodomerno postajo Dvor (1981-2010) .....            | 27 |
| Grafikon 10: Razvrstitev povprečnih letnih pretokov (hidrološko leto) za vodomerno postajo Moste ..         | 27 |
| Grafikon 11: Razvrstitev povprečnih letnih pretokov (hidrološko leto) za vodomerno postajo Dvor ..          | 28 |
| Grafikon 12: Odstopanja letnih pretokov glede na dolgoletno povprečje za vodomerno postajo Moste<br>.....   | 28 |
| Grafikon 13: : Odstopanja letnih pretokov glede na dolgoletno povprečje za vodomerno postajo Dvor<br>.....  | 29 |
| Grafikon 14: 5-letna drseča sredina za vodomerno postajo Moste.....   | 29 |
| Grafikon 15: 5-letna drseča sredina za vodomerno postajo Dvor .....   | 30 |
| Grafikon 16: Vsotna krivulja za vodomerno postajo Moste.....  | 30 |
| Grafikon 17: Vsotna krivulja za vodomerno postajo Dvor .....  | 31 |
| Grafikon 18: Povprečni mesečni pretoki za vodomerno postajo Moste (1924-2011).....                          | 32 |
| Grafikon 19: Povprečni mesečni pretoki za vodomerno postajo Dvor (1979-2011).....                           | 33 |
| Grafikon 20: Prikaz osnovnih mesečnih statistik za vodomerno postajo Moste .....                            | 34 |
| Grafikon 21: Prikaz osnovnih mesečnih statistik za vodomerno postajo Dvor .....                             | 35 |
| Grafikon 22: Mesečna vsotna krivulja za vodomerno postajo Moste .....                                       | 35 |
| Grafikon 23: Mesečna vsotna krivulja za vodomerno postajo Dvor .....  | 36 |

|   |    |
|---|----|
| Grafikon 24: Regresijski premici za podatke povprečnih letnih pretokov vodomernih postaj Moste in Dvor (1981-2011) .....                          | 37 |
| Grafikon 25: Ocenjene vrednosti pretokov z 10-letno povratno dobo, dobljene z različnimi porazdelitvami za vodomerni postaji Moste in Dvor.....   | 41 |
| Grafikon 26: Ocenjene vrednosti pretokov s 100- letno povratno dobo, dobljene z različnimi porazdelitvami za vodomerni postaji Moste in Dvor..... | 41 |
| Grafikon 27: Grafikon odstopanj za obdobje od 1981 do 2011 za postaji Moste in Dvor.....  | 42 |
| Grafikon 28: Primerjava osnovnih mesečnih statistik za vodomerni postaji Moste in Dvor .....  | 44 |



## 1 UVOD

Hidrologija je znanost, katere naloga je proučevanje kroženja vode v naravi, njenih oblik, porazdelitve, gibanja in lastnosti (Brilly in Šraj, 2005). V hidrologiji s pomočjo različnih hidroloških in statističnih metod analiziramo hidrološke podatke in tako določamo karakteristične vrednosti, ugotavljamo med njimi ter določamo lastnosti nizov podatkov oziroma vodomernih postaj. Obstaja skupna potreba po statističnih metodah in hidroloških analizah, ki se nanašajo na pretoke, gladine, količino padavin ter druge hidrološke in meteorološke spremenljivke (Hydrology Project, 1999a).

Za analizo karakterističnih vrednosti merjenih pretokov se uporablja več metod. Osnovna statistična analiza vzorca je potrebna za ugotovitve srednje vrednosti, mediane, moda, standardne deviacije ter maksimuma in minimuma. Krivulja trajanja prikazuje določen odstotek časa oz. verjetnost, da bo pretok na določenem območju enak ali višji od določene vrednosti. Za analizo ekstremov se najpogosteje uporablja verjetnostna analiza visokovodnih konic, kjer se bomo osredotočili na vzorec, sestavljen iz največjih letnih vrednosti pretokov. Pomembna analiza je analiza časovnih vrst, ki jo uporabljam pri ugotavljanju variabilnosti, homogenosti in samega trenda pretokov. Regresija oziroma regresijska krivulja nam pove, kakšen vpliv ima spremenljivka X na Y brez drugih vplivov (Turk, 2008). Analiza dvojne vsotne krivulje pa nam pomaga poiskati nepravilnosti oziroma nenadne spremembe, nastale pri hidroloških podatkih.

Z izvedbo teh analiz lažje in hitreje ugotovimo, kakšni so trendi, sušna ali mokra leta določenih pretokov na vodomerni postaji ipd.

### 1.1 Cilj diplomske naloge

Cilj diplomske naloge je grafično in računsko prikazati osnovno statistično analizo pretokov, empirične porazdelitve pogostosti (krivuljo trajanja), verjetnostno analizo pretokov, analizo časovnih vrst, regresijo ter dvojno vsotno krivuljo. Vse te analize je potrebno opraviti na dveh vodomernih postajah Ljubljanica (Moste) ter Gradaščica (Dvor), ter jih na koncu analizirati.

## 2 KARAKTERISTIČNE VREDNOSTI MERJENIH PRETOKOV

### 2.1 Računanje osnovnih statistik vzorca

Karakteristična števila so števila, ki prikazujejo lastnosti statističnih populacij (Brilly in Šraj, 2005). Numerične predstavitve vzorcev so mere pričakovane vrednosti (imenujemo jih tudi mere centralne tendence, mere srednje vrednosti ali mere matematičnega upanja), mere razpršenosti oziroma variabilnosti in mere simetričnosti (Turk, 2008).

Frekvenčne porazdelitve homogene populacije so porazdeljene okoli nekega središča, od katerega se posamezne vrednosti odklanjajo v eno ali drugo smer (Nemec, 2009).

Odkloni so običajno majhni v primerjavi z vrednostjo središča, zato je središče eno izmed značilnosti populacije. Središče ali srednja vrednost je odvisna od vrednosti, ki jih ustrezna statistična spremenljivka dosega (Nemec, 2009).

Mere sredine so:

- **Mediana (Me)**

Je tista vrednost spremenljivke, od katere ima polovica enot populacije manjšo in polovica populacije večjo vrednost. Za izračun mediane moramo poznati le vrednost v sredini ranžirne vrste (Nemec, 2009).

- **Modus (Mo)**

Modus prikazuje tisto vrednost, okoli katere so vrednosti populacije najbolj goste oziroma najpogostejša vrednost v populaciji. Modus lahko izračunamo le, če imamo razmeroma obsežne populacije (Nemec, 2009).

- **Aritmetična sredina (M)**

Aritmetična sredina je najpogosteje uporabljeni srednji vrednosti. Izračunamo jo tako, da vsoto vseh vrednosti spremenljivke v statistični množici delimo s številom enot statistične množice (Nemec, 2009).

$$M = \frac{1}{N} (x_1 + x_2 + x_3 + \dots + x_n) = \frac{1}{N} \sum_{i=1}^N x_i \quad (1)$$

Med merami razpršenosti podatkov oziroma variabilnosti je verjetno najpogosteje uporabljeni varianca  $S_x^2$ , ki predstavlja srednjo vrednost kvadratov odklonov od povprečja (Turk, 2008).

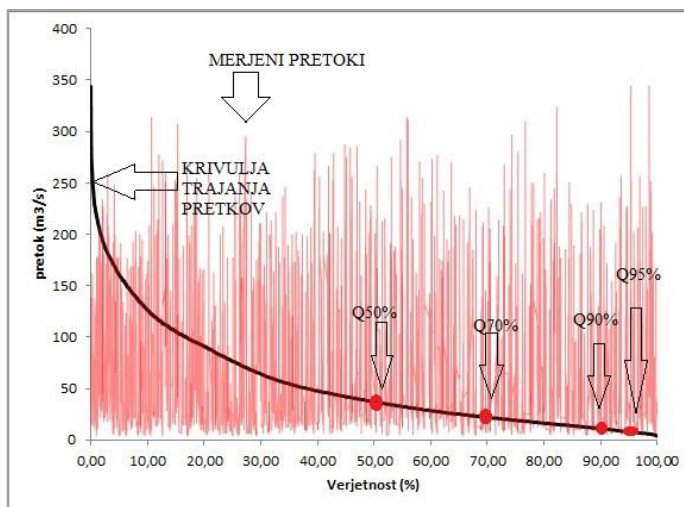
$$S_x^2 = \frac{\sum_{i=1}^N (xi - M)^2}{N} \quad (2)$$

Druga pogosto uporabljena mera razpršenosti, standardna deviacija  $S_x$  vzorca ima bistveno prednost pred varianco v tem, da jo merimo z istimi enotami kot vrednosti same. Zato je pomen standardne deviacije lažje razumeti (Turk, 2008).

$$S_x = \sqrt{S_x^2} \quad (3)$$

## 2.2 Empirična porazdelitev pogostosti (krivulja trajanja)

Podlaga za analizo pretokov površinskih voda sta hidrogram in krivulja trajanja ali empirična porazdelitev pretokov za določeno obdobje (Brilly in Šraj, 2005). Za izračun empirične porazdelitve pogostosti se uporablja metoda, ki preučuje variabilnost pretoka. Ta se nanaša na trajanje krivulje pretokov voda. Krivulja trajanja je po definiciji krivulja, ki kaže odstotek časa, v katerem je pretok vode v strugi enak ali večji od izbrane vrednosti ne glede na časovno zaporedje opazovanj (Mikoš in sod., 2003).



Slika 1: Krivulja trajanja

Primeri uporabe krivulje trajanja so (Hydrology Project, 1999a):

- pri načrtovanju vodnih virov za inženirske projekte,
- pri obravnavanju značilnosti vodnega potenciala reke,
- pri načrtovanju odvodnjavanja,
- pri kontroliranju poplav,

- pri računanju plavin in raztopljenih snovi v rekah,
- pri primerjavi s sosednjimi zajetji.

Oblika krivulje trajanja toka je zelo pomembna na zgornjem in spodnjem območju (Hydrology Project, 1999a). Oblika krivulje na območju visokega pretoka nakazuje, kakšen mora biti zadrževalnik poplavnih vod. Oblika krivulje na območju nizkega pretoka pa nakazuje na to, kakšna je sposobnost določenega porečja, da vzdržuje nizke pretoke v sušnih obdobjih.

Če je krivulja zelo strma, kar pove, da so bili v kratkem času prisotni zelo visoki pretoki, to pomeni, da so padavine povzročile visoke vode na majhnih vodozbirnih površinah. Vpliv taljenja snega, ki povzroči večnevne poplave, pa je na krivulji trajanja zaznati kot veliko bolj položno krivuljo.

Krivuljo trajanja v odvisnosti od verjetnosti dobimo tako, da najprej razvrstimo pretoke od največjega do najmanjšega. Nato vsakemu pretoku določimo rang  $M$ , kjer ima največji pretok vrednost ranga 1. Po enačbi (4) izračunamo verjetnost  $P$  (Oregon State University, 2005).

$$P = 100 * [M/(n + 1)] \quad (4)$$

$P$  verjetnost, da bo pretok enak ali večji [%],

$M$  rang - razvrstitveni položaj,

$N$  število vseh podatkov.

### 2.3 Verjetnostna analiza pretokov

Verjetnostne analize se najpogosteje uporablajo pri analizah ekstremov (poplav ali suš). Vzorec je lahko sestavljen iz največjih letnih vrednosti pretokov (ang. *Annual maximum method*), mesečnih ali sezonskih vrednosti. Lahko pa vzorec predstavljajo vse vrednosti nad določenim pragom (ang. *Peak over threshold method*). Za analizo pa pogosto namesto absolutno največje vrednosti pretoka uporabimo dnevne vrednosti pretokov. Za verjetnostne analize minimalnih vrednosti pretokov pa se najpogosteje uporablajo povprečja dnevnih vrednosti ali pa povprečja vrednosti za določeno obdobje. Zaradi pogostih napak pri meritvah minimalnih vrednosti, se absolutno najmanjše vrednosti uporablajo zelo redko (Hydrology Project, 1999a).

V praksi se za izbiro vzorca najpogosteje uporablja metoda letnih maksimumov in POT metoda.

Za določanje verjetnosti pojava posameznega dogodka se v hidrološki praksi pogosto namesto porazdelitvene funkcije  $F_X(x)$  uporablja povratna doba  $T(x)$ . Če pojav vežemo na leto, imamo pri porazdelitveni funkciji  $F_X(x) = 0,99$ , povratno dobo enako 100 let (Brilly in Šraj, 2005).

$$T(x) = \frac{1}{1 - F_X(x)} \quad (5)$$

### 2.3.1 Metoda letnih maksimumov

Pri metodi letnih maksimumov je vzorec sestavljen iz toliko vrednosti, kolikor let imamo na razpolago. Za vsako leto posebej izberemo tisti pretok, ki je največji. Slaba stran te metode je, da lahko pride do izločitve posameznih dogodkov, ki po velikosti v posameznem letu niso bili največji, so pa večji od vrednosti v drugih letih in bi imeli pri sami analizi pomembno vlogo.

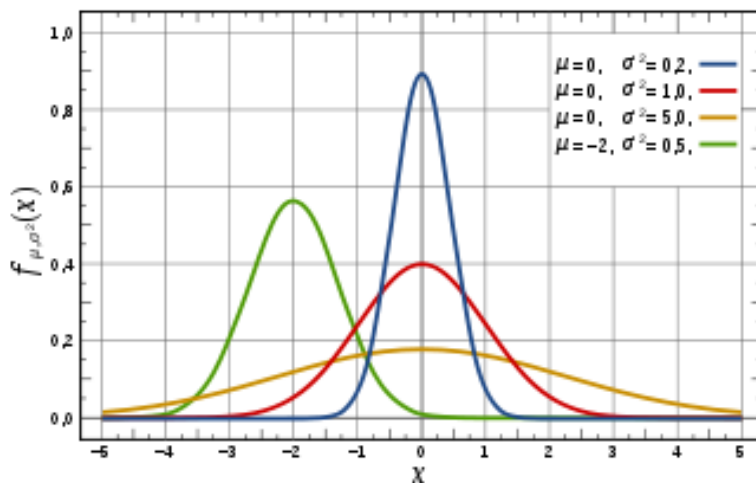
Za verjetnostne analize ekstremnih vrednosti poplav najpogosteje uporabljamo naslednje porazdelitve:

#### 2.3.1.1 Normalna porazdelitev

Gaussova ali normalna porazdelitev je najpomembnejša in najbolj pogosto uporabljena porazdelitev v statistiki. Velja za zvezno porazdeljene slučajne spremenljivke. Je simetrična, dvoparametrska funkcija. Parametra sta matematično upanje in standardna deviacija (slika 2) (Brilly in Šraj, 2005).

$$f(x) = \frac{1}{\sigma_x \sqrt{2\pi}} e^{-(x-\mu_x)^2/2\sigma_x^2}$$

$$F_x(x) = \frac{1}{\sigma_x \sqrt{2\pi}} \int_{-\infty}^x e^{-\frac{(x-\mu_x)^2}{2\sigma_x^2}} dx \quad (6)$$



Slika 2: Gostota verjetnosti normalne porazdelitve za različne vrednosti parametrov (Normalna porazdelitev, 2013)

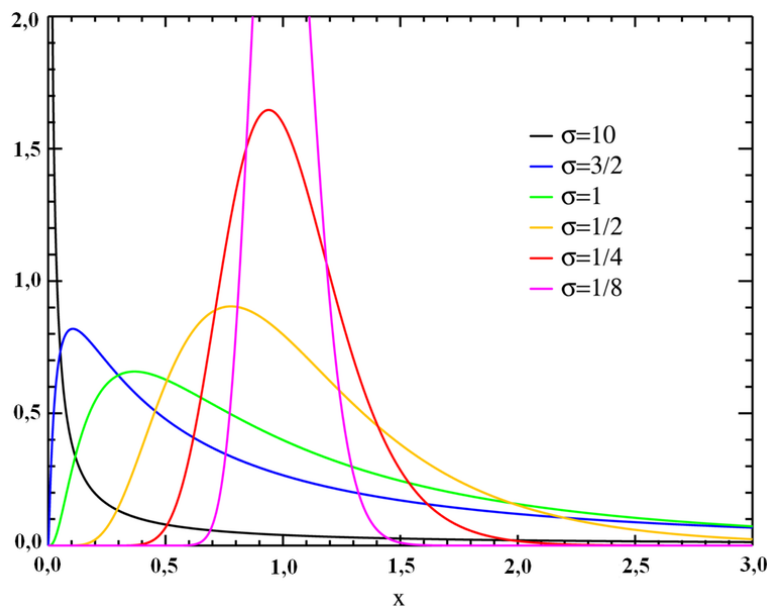
### 2.3.1.2 Logaritemsko normalna porazdelitev

Logaritemsko normalna porazdelitev izhaja iz normalne porazdelitve. Funkcija je dvoparametrska, asimetrična in je določena samo za vrednosti spremenljivke  $X$ , večje od nič. Če logaritem spremenljivke  $X$  sledi normalni porazdelitvi, se spremenljivka prilagaja logaritemsko normalni porazdelitvi. V enačbi normalne porazdelitve zamenjamo  $x$  z  $y = \ln x$  in dobimo enačbo gostote logaritemsko normalne porazdelitve (slika 3) (Brilly in Šraj, 2005).

$$f_X(x) = \frac{1}{x\sigma_y \sqrt{2\pi}} e^{-(\ln x - \mu_y)^2 / 2\sigma_y^2} \quad x > 0$$

$$\sigma_Y = \left[ \ln \left( 1 + \frac{\sigma_X^2}{\mu_X^2} \right) \right]^{1/2}$$

$$\mu_Y = \ln \mu_X - \frac{\sigma_Y^2}{2} \quad (7)$$



Slika 3: Funkcija gostote verjetnosti za logaritemsko normalno porazdelitev (Logaritemsko normalna porazdelitev, 2013)

### 2.3.1.3 Gumbelova porazdelitev

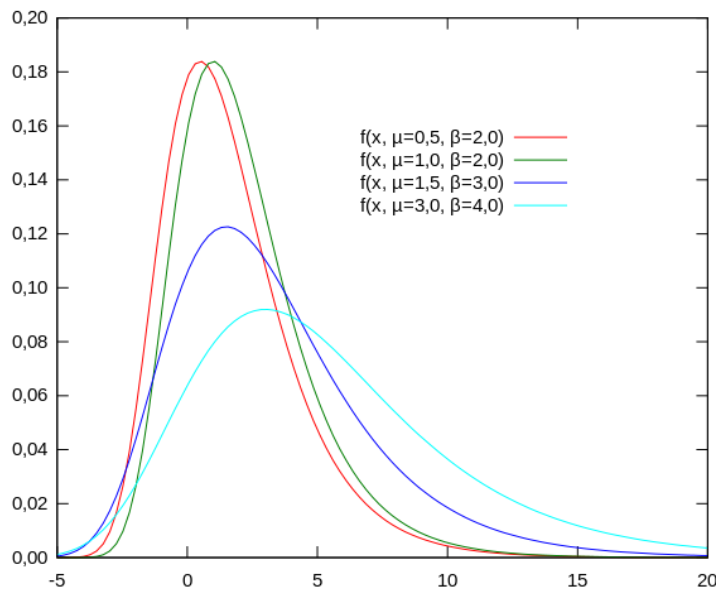
V hidrologiji se Gumbelova porazdelitev uporablja pri analizi visokih vod ali maksimalnih padavin. Spada v skupino porazdelitev ekstremnih vrednosti tipa I. Je dvoparametrska in asimetrična porazdelitev (slika 4) (Brilly in Šraj, 2005).

Porazdelitvena funkcija  $F_x(x)$  in gostota verjetnosti  $f(x)$  sta enaki:

$$F_X(x) = e^{-e^{(x-u)/\alpha}} \quad -\infty < x < \infty$$

$$f(x) = \frac{1}{\alpha} e^{-(x-u)/\alpha} e^{-(x-u)/\alpha} \quad (8)$$

Funkcija vsebuje dva parametra  $\mu$  in  $\alpha$  in se uporablja pri analizi ekstremov. Parameter  $\mu$  je lokacijski parameter, parameter  $\alpha$  pa vpliva na razpršenost porazdelitve (Brilly in Šraj, 2005).

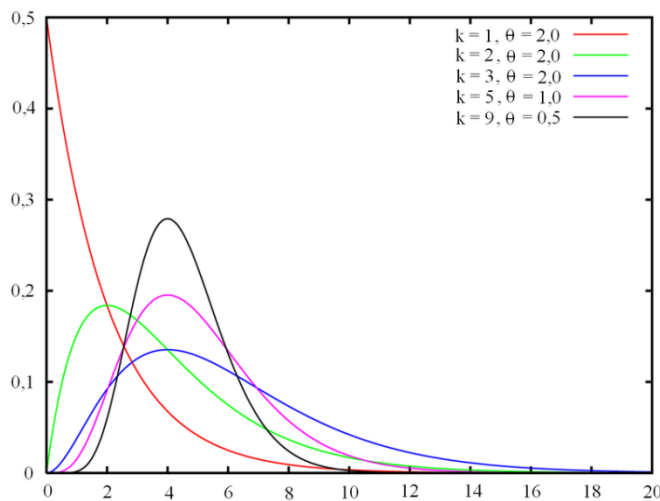


Slika 4: Funkcija gostote verjetnosti za Gumbelovo porazdelitev (Gumbelova porazdelitev, 2013)

#### 2.3.1.4 Pearsonova porazdelitev tipa 3

Ena od gama porazdelitev je tudi Pearsonova tipa 3 porazdelitev in se v hidrologiji pogosto uporablja pri analizi maksimalnih pretokov. Je troparametrsko asimetrično porazdelitev (slika 5), ki vsebuje tri parametre  $\alpha, \beta$  in  $x_0$  (Brilly in Šraj, 2005). Opisuje Poissonov stohastični proces (Turk, 2008).

$$f_X(x) = \frac{1}{\beta^\alpha \Gamma(\alpha)} (x - x_0)^{\alpha-1} e^{-(x-x_0)/\beta} \quad (9)$$



Slika 5: Funkcija gostote verjetnosti za porazdelitev gama (Porazdelitev gama, 2013)

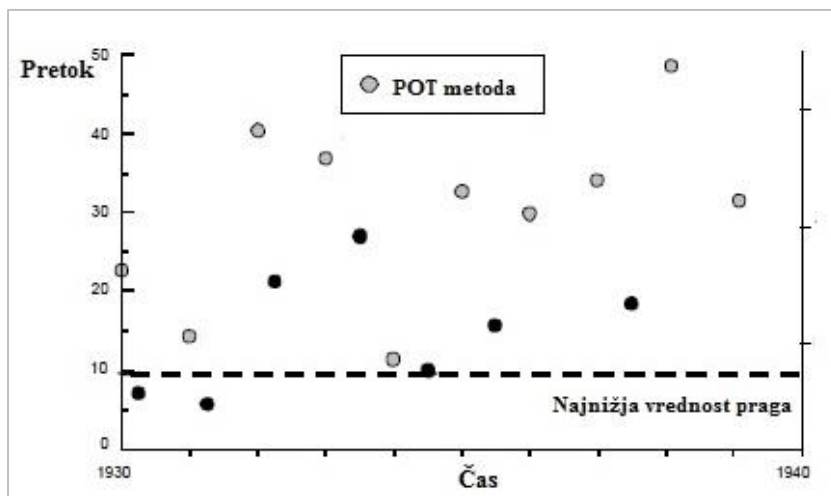
### 2.3.1.5 Logaritemsko Pearsonova porazdelitev tipa 3

Logaritemsko Pearsonova porazdelitev tipa 3 izhaja iz Pearsonove porazdelitve in se pogosto uporablja pri analizi poplav (Brilly in Šraj, 2005).

### 2.3.2 POT metoda

POT metoda (ang. *peaks over threshold method*) se uporablja pri analizi visokovodnih konic nad izbranim mejnim pragom (slika 6). Izbira konic je statistično neodvisna in se izvede z uporabo različnih postopkov iz časovne serije. Da se izognemo manjšim konicam je najnižja vrednost praga določena (Mkhandi in sod., 2011).

Izbira vrednosti praga je subjektivna in zato zahteva strokovno oceno. V literaturi zato najdemo različne predloge za določitev vrednosti praga.



Slika 6: POT metoda (Povzeto po Bengston, 2011)

## 2.4 Analiza časovnih vrst

Časovna vrsta nam prikazuje niz istovrstnih podatkov, ki se nanašajo na zaporedne časovne razmike ali trenutke (Korenjak Černe, 2004).

Analizo časovnih vrst uporabljam pri ugotavljanju variabilnosti, homogenosti in samega trenda pretokov. Lahko pa nam pomaga tudi pri ugotavljanju značilnosti določenih serij podatkov.

Pri analizi časovnih vrst uporabljajmo analize, predstavljene v naslednjih poglavjih.

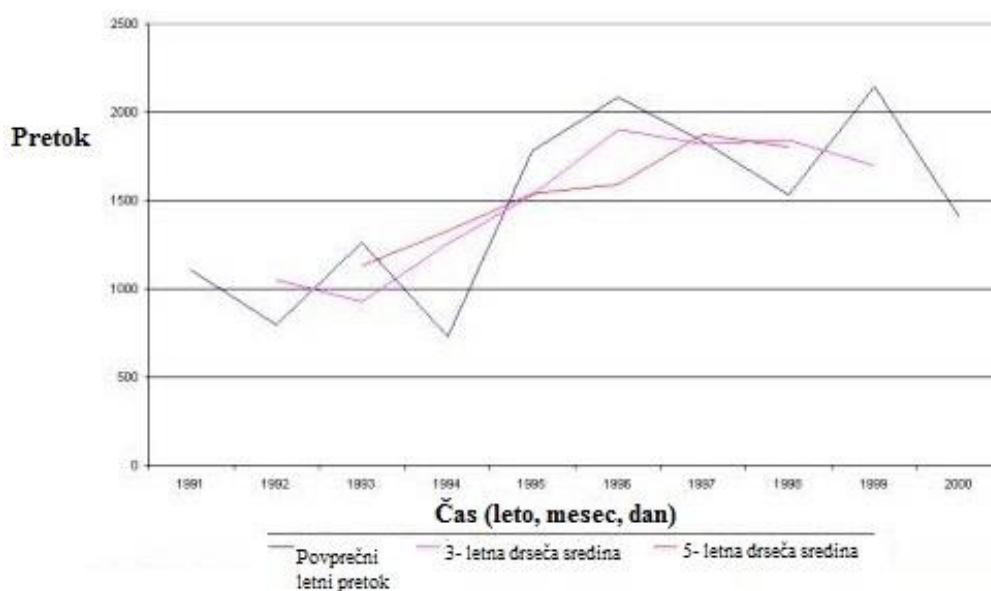
### 2.4.1 Drseča sredina

Drseča sredina zmanjšuje učinke naključnih nihanj. Metoda temelji na predpostavki sistematičnega dela časovne serije avtokorelacije (korelacija med sosednjimi meritvami), medtem ko naključna nihanja niso del avtokorelacije (Bengston, 2011)

Metoda drseče sredine je zelo uporabna za raziskovanje dolgoročnih spremenljivosti oziroma trendov v posamezni seriji. Drseča sredina serije  $Y_i$  iz serije  $X_i$  izhaja iz (Hydrology Project, 1999a):

$$Y_i = \frac{1}{(2M + 1)} \sum_{j=i-M}^{j=i+M} X_j \quad (10)$$

Na sliki 7 je predstavljen povprečni letni (mesečni) pretok v odvisnosti od časa (dnevi, leta). Drseča sredina izloči nihanja, ki so nastala v posameznem obdobju in je predstavljena kot gladka krivulja, ki prikazuje vzorec splošnega pretoka za določeno obdobje in tako razkrije mokra in sušna obdobia (Oregon State University, 2005).



Slika 7: Graf drseče sredine (Povzeto po Oregon State University, 2005)

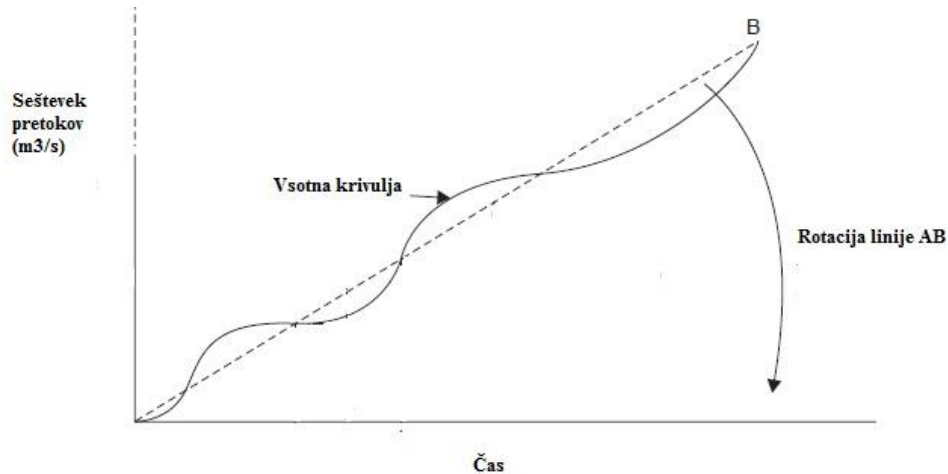
#### 2.4.2 Vsotna krivulja in vsotna krivulja odstopanj

Vsotna krivulja (kumulativna krivulja) je krivulja nakopičene količine v odvisnosti od časa.

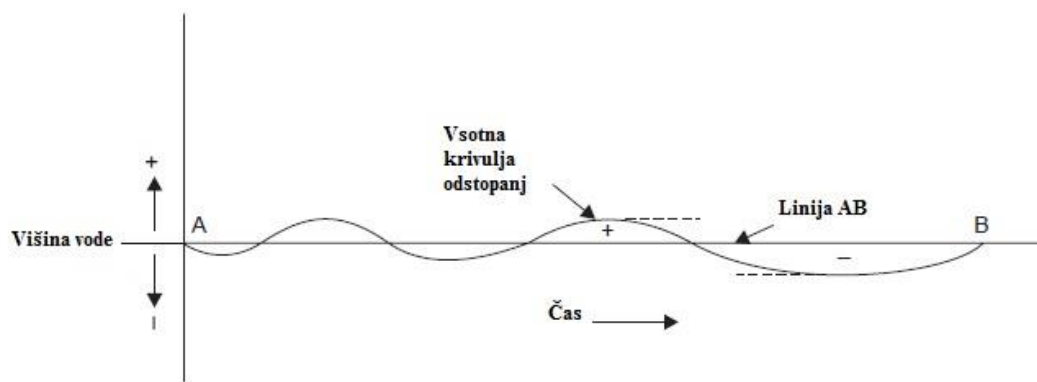
Vsotna krivulja se uporablja npr. pri izračunih skladiščnih zmogljivosti rezervoarja. Izračuna se kot skupna količina pretokov. Na grafu je predstavljena kot kumulativna količina pretokov v odvisnosti od časa (slika 8). Za izračun vsotne krivulje za namene določanja sušnih obdobij uporabljamo mesečne podatke o pretokih. Z uporabo povprečnih mesečnih pretokov lahko ugotovimo sezonsko razpoložljivost vode. Pri uporabi letnih vrednosti pa lahko določimo sušna in mokra leta (Oregon State University, 2005).

Vsotna krivulja odstopanj je krivulja vsote odstopanj od dane referenčne vrednosti (npr. aritmetične sredine v odvisnosti od časa ali datuma) (Mikoš in sod., 2003).

Vsotna krivulja odstopanj je grafično predstavljena kot vsotna krivulja okoli vodoravne osi, ki jo dobimo z vrtenjem linije AB v horizontalen položaj (sliki 8 in 9). Ta metoda izrisa se uporablja za ohranitev dodatnega prostora pri konstantnem naraščanju vsotne krivulje (Raghunath, 2006).



Slika 8: Graf vsotne krivulje (Povzeto po Raghunath, 2006)



Slika 9: Graf vsotne krivulje odstopanj (Povzeto po Raghunath, 2006)

## 2.5 Regresija in regresijska krivulja

Regresijska funkcija opisuje medsebojno odvisnost dveh spremenljivk oziroma kakšen je vpliv spremenljivke X na Y brez drugih vplivov, ki so lahko posledica vpliva drugih spremenljivk ali slučajnega odstopanja (Turk, 2008).

### 2.5.1 Linearna regresija

Ena od metod linearne regresije je metoda najmanjših kvadratov. Pri linearni regresiji iščemo premico, ki se najbolje prilega danim vrednostim oziroma točkam. Regresijska premica je pri metodi najmanjših kvadratov določena tako, da je vsota odklonov od podanih vrednosti najmanjša (Brilly in Šraj, 2005).

Enostavni linearni regresijski model zapišemo:

$$Y = \alpha X + \beta + \varepsilon \quad (11)$$

kjer sta  $\alpha$  in  $\beta$  parametra modela,  $\varepsilon$  pa predstavlja vsoto vseh odstopanj.

Rešitev sta parametra  $a$  in  $b$ . Parameter  $a$  nam določa smer in naklon regresijske premice, parameter  $b$  pa določa, kje regresijska premica seka ordinato (Brilly in Šraj, 2005).

$$\begin{aligned} a &= \frac{\sum_{i=1}^n X_i Y_i - \frac{1}{n} \sum_{i=1}^n X_i \sum_{i=1}^n Y_i}{\sum_{i=1}^n X_i^2 - \frac{1}{n} (\sum_{i=1}^n X_i)^2} \\ b &= \frac{\sum_{i=1}^n Y_i - a \sum_{i=1}^n X_i}{n} \end{aligned} \quad (12)$$

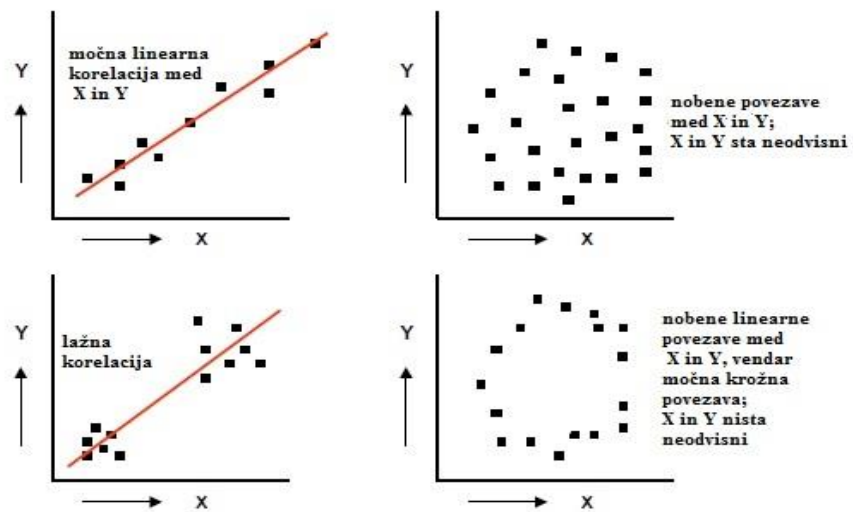
Kovarianca med slučajnjima spremenljivkama  $X$  in  $Y$  je pomemben centralni mešani moment drugega reda dvodimensijskega slučajnega vektorja. Podaja nam linearno odvisnost dveh slučajnih spremenljivk, s pomočjo katere definiramo Pearsonov koeficinet korelacije  $r$  (Brilly in Šraj, 2005).

Vrednost korelacijskega koeficineta  $r$  je v razponu med -1 in 1. Korelacijski koeficient 1 pomeni popolno neposreden odnos med  $X$  in  $Y$ , pri čemer korelacija -1 nakazuje na popolno obratno sorazmerje (United States Department of Agriculture, 2000).

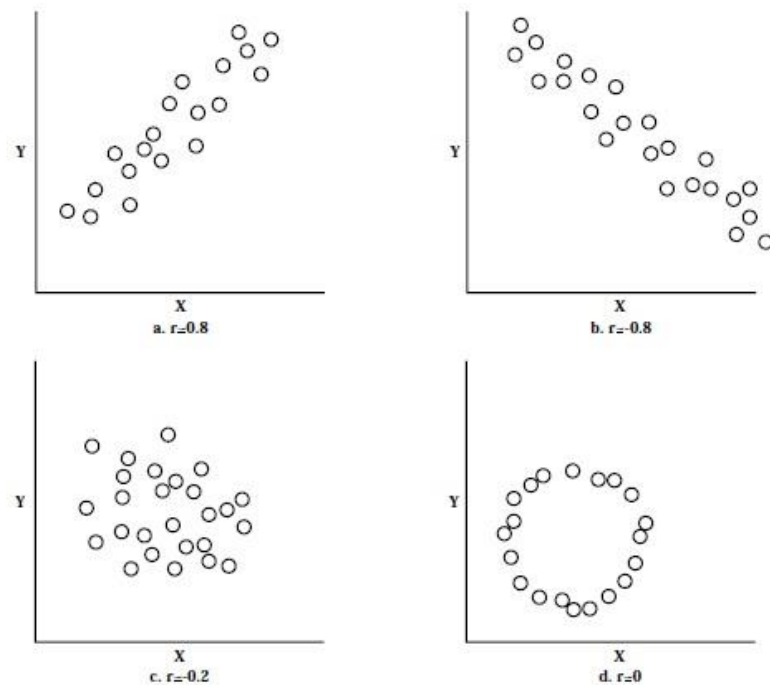
$$\begin{aligned} r &= \frac{S_{XY}}{S_X S_Y} = \frac{n \sum_{i=1}^n (X_i - \bar{X})(Y_i - \bar{Y})}{n S_X S_Y} \\ r &= \frac{n \sum_{i=1}^n X_i Y_i - \sum_{i=1}^n X_i \sum_{i=1}^n Y_i}{\sqrt{(n \sum_{i=1}^n X_i^2 - (\sum_{i=1}^n X_i)^2)(n \sum_{i=1}^n Y_i^2 - (\sum_{i=1}^n Y_i)^2)}} \end{aligned} \quad (13)$$

Točke dvodimensijskega slučajnega pojava nanesemo na razsevni graf. Na podlagi grafa lahko sklepamo kakšna je zveza med spremenljivkama  $X$  in  $Y$  (Brilly in Šraj, 2005).

Če je  $r = 0$  nam to pove, da med spremenljivkama  $X$  in  $Y$  ni linearne povezave. To pa ne pomeni, da sta  $X$  in  $Y$  neodvisni in da med njima ni nobene povezave (sliki 10 in 11) (Hydrology Project, 2002).



Slika 10: Primeri razsevnih grafov in zvez med spremenljivkama X in Y (Povzeto po Hydrology Project, 2002)

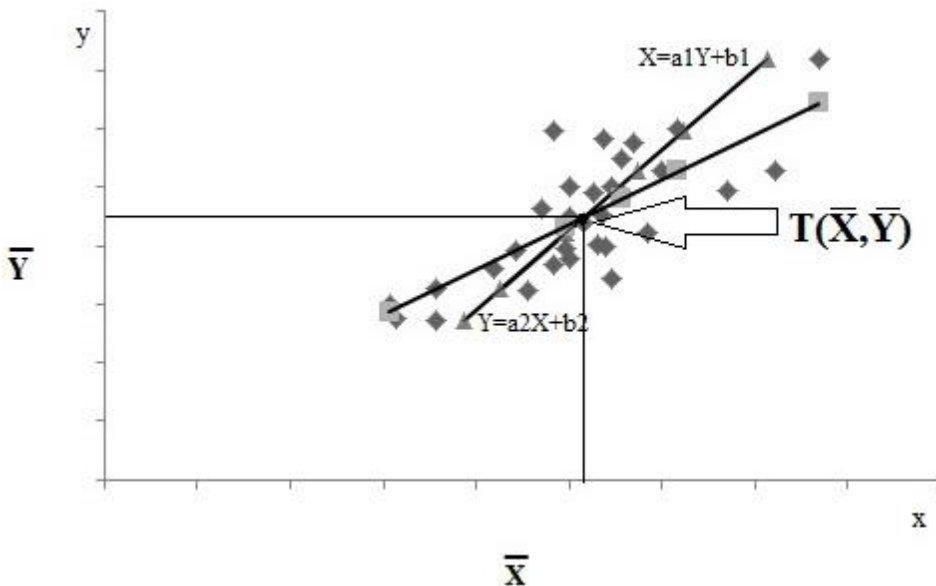


Slika 11: Primeri korelacije (United States Department of Agriculture, 2000)

Kot  $\gamma$ , ki ga oklepata obe regresijski premici je:

$$tg\gamma = \frac{\left(\frac{S_Y}{S_X}\right)\left(\frac{1-r^2}{r}\right)}{1 + \left(\frac{S_Y}{S_X}\right)^2} \quad (16)$$

Ko je  $0 < \gamma < 90^\circ$  in  $0 < \alpha < 90^\circ$  je  $0 < r < 1$  in govorimo o pozitivni korelaciji. Ko je  $90^\circ < \alpha < 180^\circ$  je  $-1 < r < 0$  pa govorimo o negativni korelaciji. Regresijski premici se vedno sekata v točki  $T(\bar{X}, \bar{Y})$  (Brilly in Šraj, 2005).



Slika 12: Regresijski premici

## 2.6 Analiza dvojne vsotne krivulje

Analiza dvojne vsotne krivulje je analiza, ki omogoča poiskati nenašne ali postopne spremembe v meteoroloških ali hidroloških podatkih. Zapis pretokov lahko vsebujejo za neko časovno obdobje določene neskladnosti. Do neskladnosti pride pri vodomerni postaji zaradi (Hydrology Project, 1999b):

- vodomerna postaja je bila v preteklosti nameščena na različnih lokacijah,
- vodomerna postaja je lahko izpostavljena določenim spremembam (rast rastlinja, gradnja, ...),
- vodomerna postaja je lahko že nekaj časa v okvari.

Neskladnosti je potrebno pred statistično analizo odstraniti. Analiza dvojne vsotne krivulje vsebuje korekcijski faktor, ki omogoča, da je niz podatkov skladen in homogen. Kljub vsemu, pa je analiza dvojne vsotne krivulje mogoča le, če je na voljo dovolj podatkov iz preteklih let (Hydrology Project, 1999b).

Na določeni hidrološki postaji je časovno usklajenost podatkov mogoče primerjati z vzorcem podatkov iz ene ali več drugih postaj v bližini (Wigbout, 1973). Teorija dvojne vsotne krivulje temelji na dejstvu, da je graf seštevka pretokov ene postaje in seštevka druge postaje v istem obdobju predstavljen kot ravna črta in sicer tako dolgo, dokler so podatki sorazmerni. Nagib črte bo predstavljal konstantno sorazmernost med količinami. Če pride do preloma v nagibu dvojne vsotne krivulje to pomeni, da je prišlo do spremembe pri sorazmernosti (Searcy in Hardison, 2011).

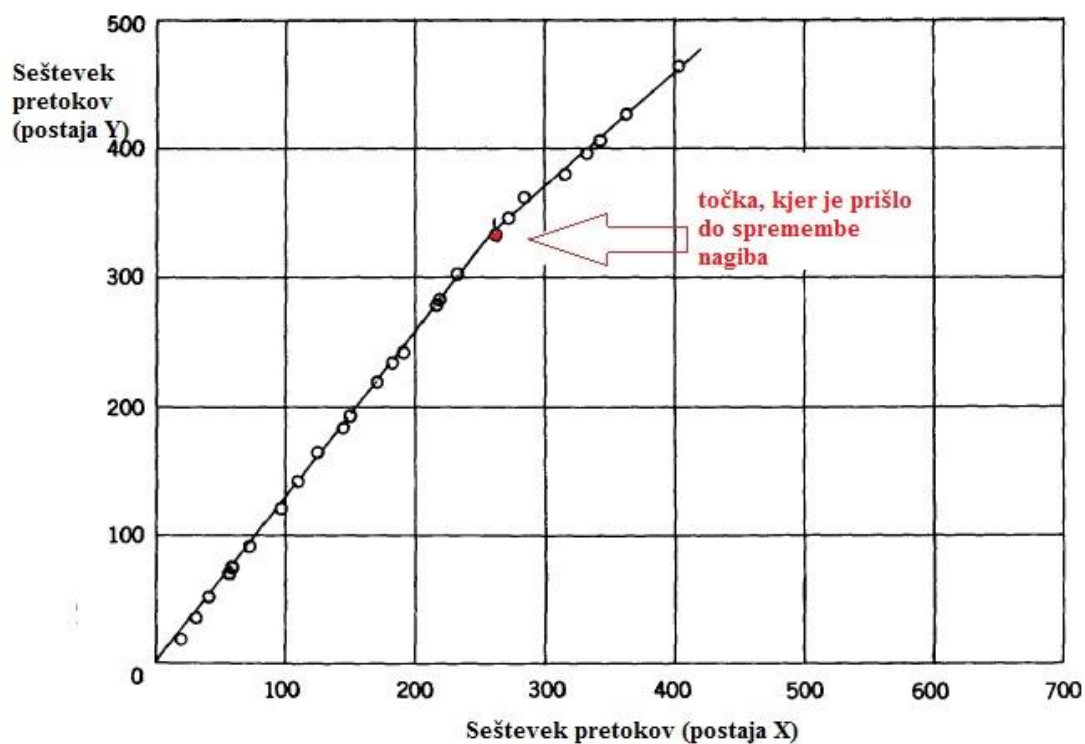
Zapisi o pretoku so najpomembnejši hidrološki zapisi, saj predstavljajo vključevanje vseh hidroloških dejavnikov. Neskladnost pri evidenci pretokov je lahko tudi posledica spremembe metode zbiranja podatkov ali velike spremembe rabe vode, skladiščenja ali izhlapevanja (Searcy in Hardison, 2011).

Analiza dvojne vsotne krivulje zahteva nabor podatkov iz vsaj dveh vodomernih postaj  $X_i$  in  $Y_i$  ( $i = 1, 2, \dots, n$ ) za isto časovno obdobje. Temu sledi postopno seštevanje vrednosti  $X_i$  in  $Y_i$ , da se preveri ali so vrednosti enake glede na dolgoročne trende spremenjanja teh dveh spremenljivk (Allen in sod., 1998).

$$x_i = X_i + \sum_{j=1}^{i-1} X_j$$

$$y_i = Y_i + \sum_{j=1}^{i-1} Y_j$$

kjer je  $i = 1, \dots, n$  in  $j = 1, \dots, i - 1$  (17)

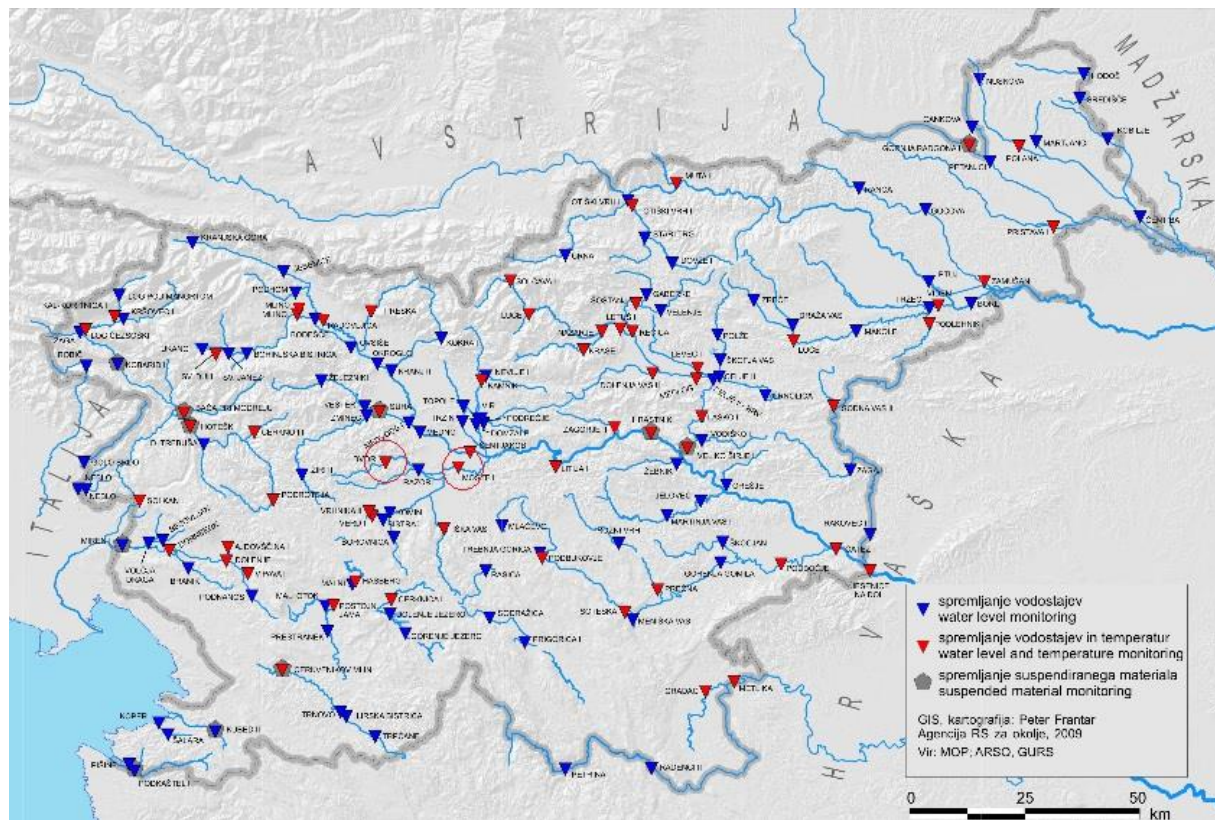


Slika 13: Graf dvojne vsotne krivulje (Povzeto po Searcy in Hardison, 2011)

### 3 IZRAČUN KARAKTERISTIČNIH VREDNOSTI PRETOKOV NA VODOMERNIH POSTAJAH LJUBLJANICA (MОСТЕ) IN GRADAŠČICA (DVOR)

#### 3.1 Vhodni podatki

Praktični primer analize karakterističnih vrednosti je bila narejen s podatki pretokov, ki so bili zabeleženi na vodomernih postajah Moste na Ljubljanici (5080) in Dvor na Gradaščici (5500). Podatke smo pridobili na spletni strani Agencije RS za okolje (ARSO, 2013).

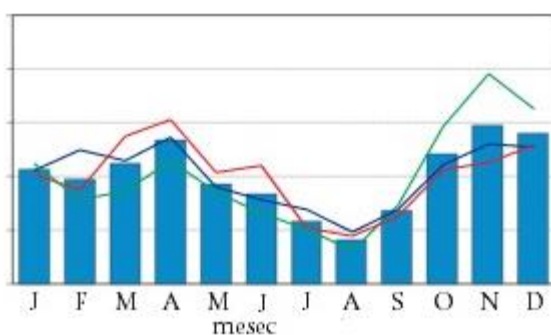


Slika 14: Mreža vodomernih postaj z označenima vodomernima postajama (ARSO, 2008)



Slika 15: Merilni mesti vodomernih postaj Moste (levo) in Dvor (desno) (ARSO, 2013)

Reka Ljubljanica spada v skupino postaj z dinarskim dežno-snežnim režimom (slika 15). Spomladanski in jesenski viški so pri tej skupini dokaj izenačeni, razlike med zimskimi in poletnimi nižki pa zelo izrazite. Najmanj vode je avgusta, ob januarskem ali februarskem drugem nižku pa so pretoki blizu povprečja. Nadpovprečna količina vode je običajno med oktobrom in decembrom ter marca in aprila. Podpovprečna količina vode pa med majem in septembrom. Januarja in februarja se pretoki močno približajo letnemu povprečju (Frantar in Hrvatin, 2008).



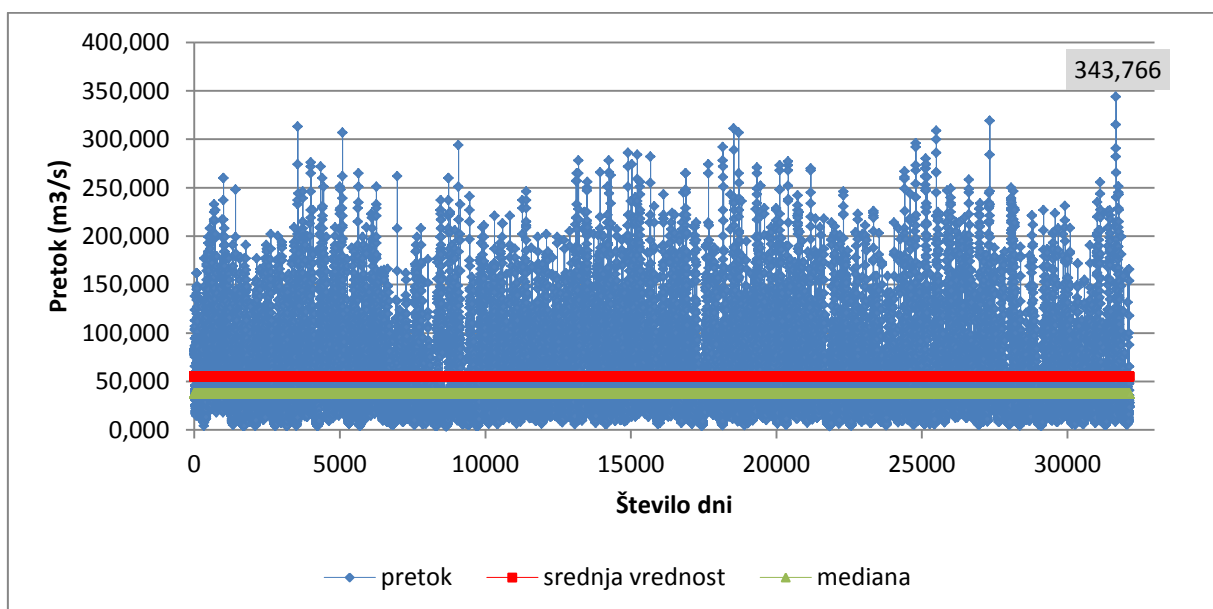
Slika 16: Dinarsko dežno-snežni režim (Frantar in Hrvatin, 2008)

Reka Gradaščica je hudourniška reka, ki s sotočjem potokov Mala voda in Božna nastane v Polhovem Gradcu. Pri Vrhovcih se vanjo izliva potok Horjulščica. Gradaščica se pri Bokalškem jezu razcepi na umetni rečni krak, ki je bil v preteklosti reguliran zaradi pogostega poplavljanja ljubljanskega mestnega predela Vič. Manjši del vodne mase je speljan po Mestni Gradaščici, ki se od Vrhovcev pa do izliva v Ljubljanico urejen v betonsko oblikovano strugo (Gradaščica, 2013).

### 3.2 Izračun osnovnih statistik vzorca

Preglednica 1: Osnovna statistična analiza pretokov za vodomerno postajo Moste (1924-2011)

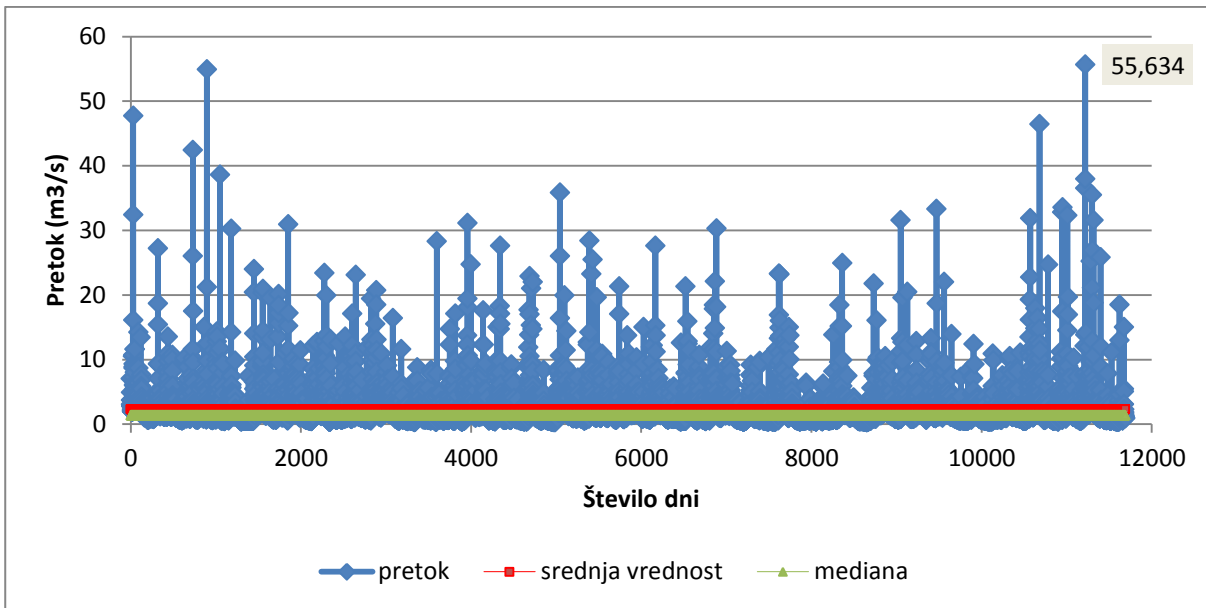
| Ljubljanica (Moste)  | Pretok<br>[m <sup>3</sup> /s] |
|----------------------|-------------------------------|
| Povprečje            | 55,07                         |
| Standardna deviacija | 49,14                         |
| Vsota                | 1770158,69                    |
| Mediana              | 37,40                         |
| Mod                  | 21,50                         |
| Minimum              | 4,04                          |
| Maksimum             | 343,77                        |



Grafikon 1: Hidrogram za vodomerno postajo Moste (1924-2011)

Preglednica 2: Osnovna statistična analiza pretokov za vodomerno postajo Dvor (1979-2011)

| Gradaščica (Dvor)    | Pretok<br>[m <sup>3</sup> /s] |
|----------------------|-------------------------------|
| Povprečje            | 2,27                          |
| Standardna deviacija | 3,01                          |
| Vsota                | 26508,10                      |
| Mediana              | 1,38                          |
| Mod                  | 1,06                          |
| Minimum              | 0,28                          |
| Maksimum             | 55,634                        |

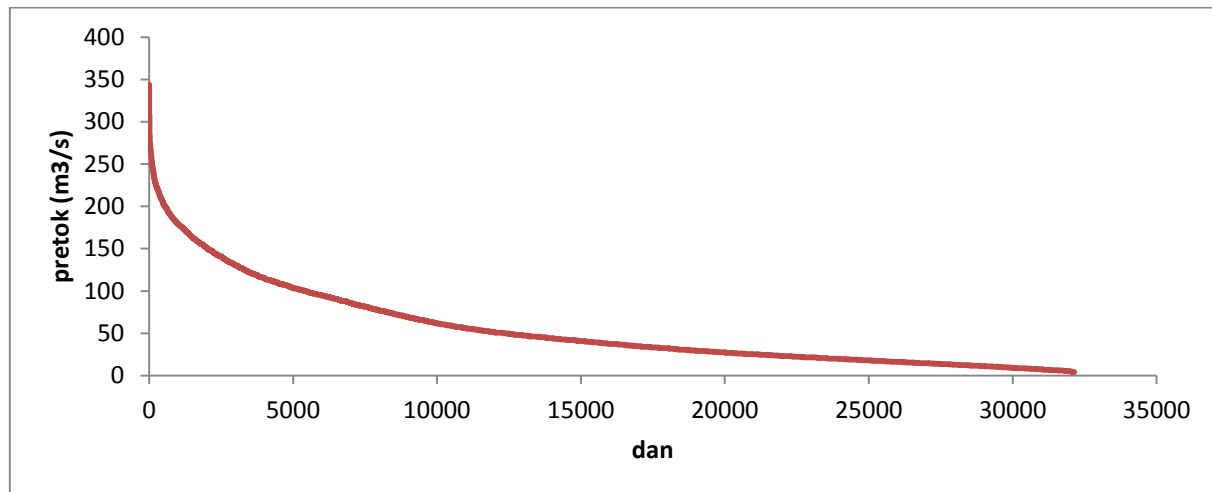


Grafikon 2: Hidrogram za vodomerno postajo Dvor (1979-2011)

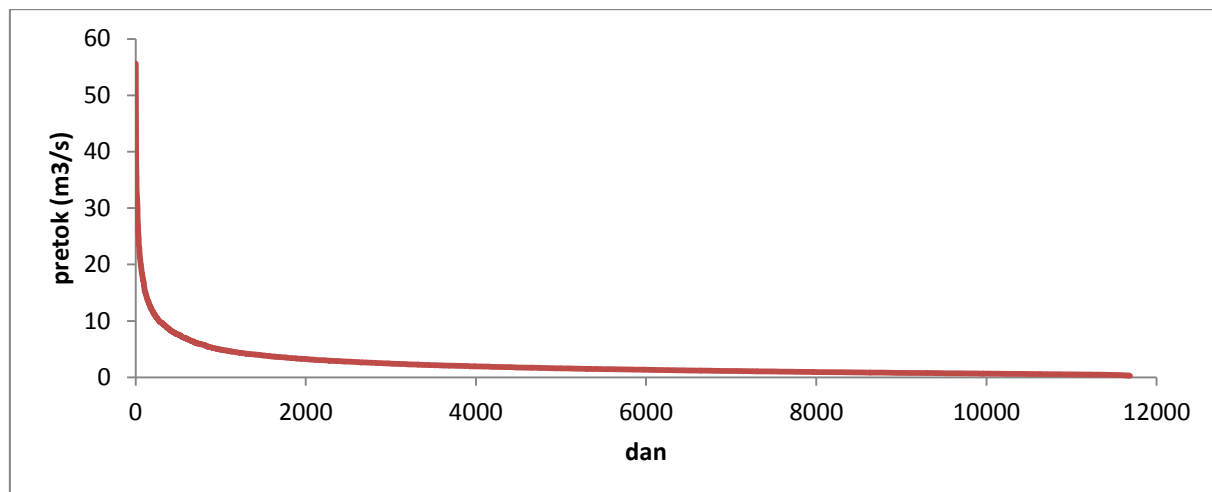
### 3.3 Empirična porazdelitev pogostosti (krivulja trajanja)

Krivulja trajanja prikazuje odstotek časa oz. verjetnost, da bo pretok na določenem območju enak ali višji od izbrane vrednosti. Analiza krivulje trajanja je metoda, ki na podlagi preteklih podatkov pretokov poda informacijo o pogostosti pretokov v določenem obdobju. Značilna krivulja trajanja prikazuje, da so največ časa prisotni nizki pretoki, ki predstavljajo pretok v daljših sušnih obdobjih, medtem ko so visoke vode tiste, ki se pojavijo redko.

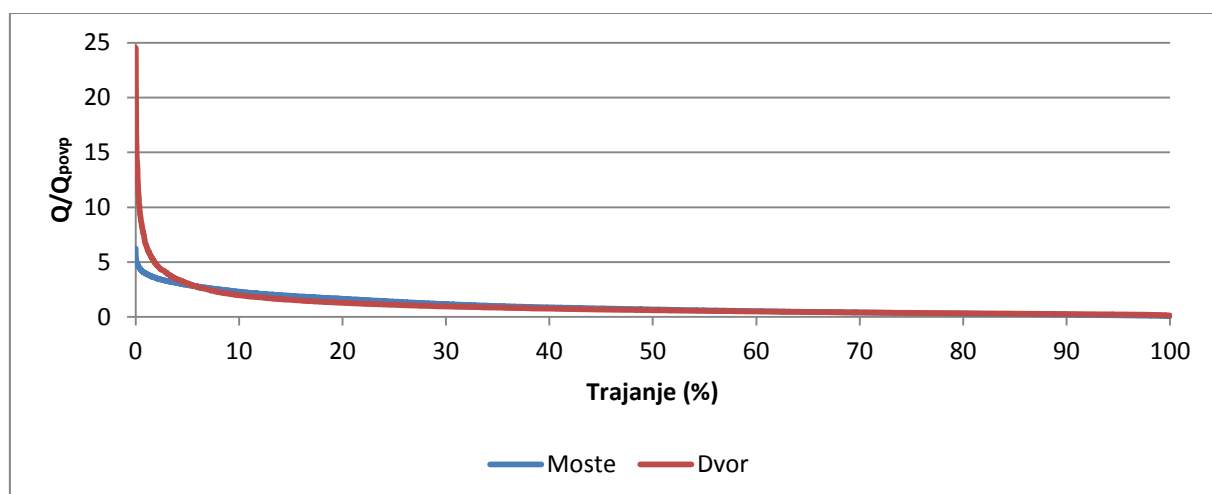
Na krivulji trajanja os X predstavlja odstotek časa (verjetnost), os Y pa količino pretoka za določeno časovno obdobje izraženo v kubičnih metrih na sekundo (grafikon 3 in 4). Za obe postaji smo grafično predstavili tudi brezdimenzijski krivulji trajanja, kjer X os predstavlja trajanje, izraženo v odstotkih, Y os pa razmerje med dnevnim pretokom  $Q$  ter povprečnim pretokom  $Q_{\text{povp}}$  (grafikon 5).



Grafikon 3: Krivulja trajanja za vodomerno postajo Moste za obdobje od leta 1924 do 2011



Grafikon 4: Krivulja trajanja za vodomerno postajo Dvor za obdobje od leta 1979 do 2011



Grafikon 5: Brezdimenzijski krivulji trajanja za vodomerni postaji Moste in Dvor

### 3.4 Verjetnostne analize visokovodnih konic

Verjetnostna analiza visokovodnih konic je bila narejena s pomočjo normalne, logaritemske normalne, Gumbelove, Pearson 3 ter logaritemske Pearson 3 porazdelitve. Za analizo smo izbrali vzorec letnih maksimumov (preglednica 3).

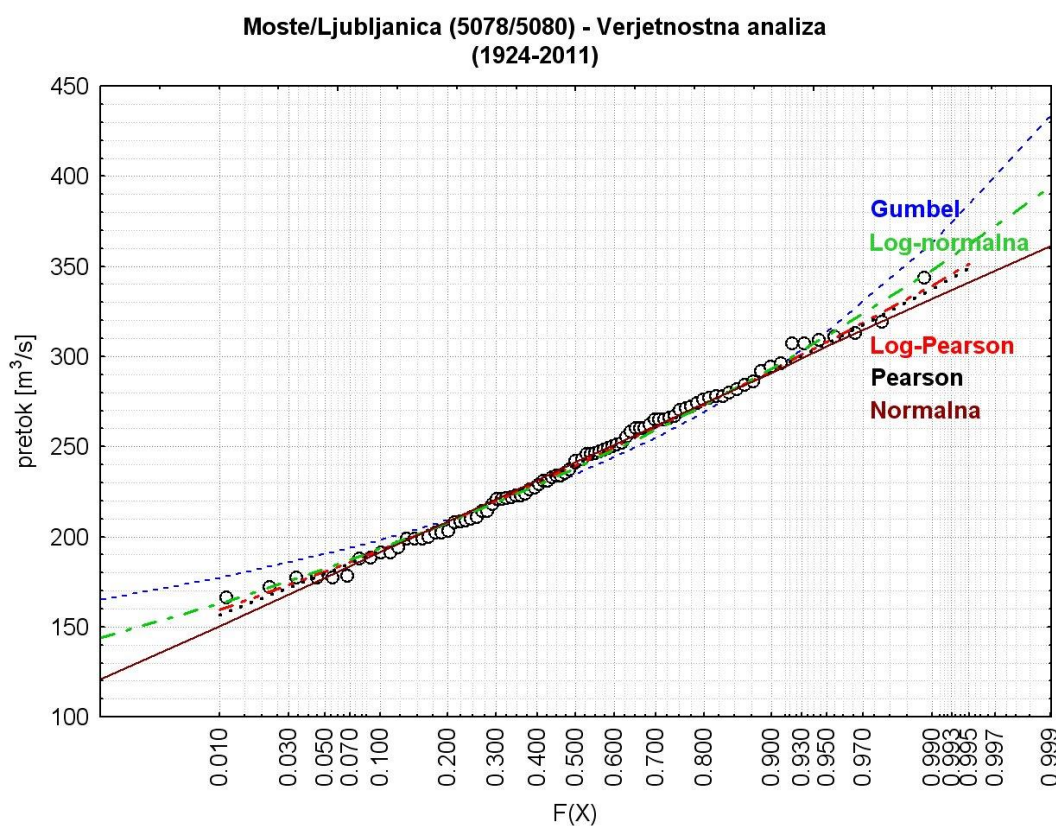
Preglednica 3: Vrednosti letnih maksimumov za obdobje od leta 1924 do 2011 na vodomerni postaji Moste na reki Ljubljanici (ARSO, 2013)

| Leto | Qmax<br>[m <sup>3</sup> /s] |
|------|-----------------------------|------|-----------------------------|------|-----------------------------|------|-----------------------------|
| 1924 | 177                         | 1946 | 177                         | 1968 | 243                         | 1990 | 267                         |
| 1925 | 233                         | 1947 | 260                         | 1969 | 222                         | 1991 | 296                         |
| 1926 | 260                         | 1948 | 294                         | 1970 | 265                         | 1992 | 280                         |
| 1927 | 248                         | 1949 | 241                         | 1971 | 214                         | 1993 | 309                         |
| 1928 | 191                         | 1950 | 178                         | 1972 | 274                         | 1994 | 247,15                      |
| 1929 | 177                         | 1951 | 211                         | 1973 | 292                         | 1995 | 249,05                      |
| 1930 | 191                         | 1952 | 221                         | 1974 | 311                         | 1996 | 258,39                      |
| 1931 | 202                         | 1953 | 221                         | 1975 | 307                         | 1997 | 233,71                      |
| 1932 | 194                         | 1954 | 237                         | 1976 | 271                         | 1998 | 319,08                      |
| 1933 | 313                         | 1955 | 246                         | 1977 | 252                         | 1999 | 187,86                      |
| 1934 | 276                         | 1956 | 199                         | 1978 | 229                         | 2000 | 250                         |
| 1935 | 272                         | 1957 | 202                         | 1979 | 277                         | 2001 | 246,34                      |
| 1936 | 260                         | 1958 | 199                         | 1980 | 242                         | 2002 | 221,27                      |
| 1937 | 307                         | 1959 | 265                         | 1981 | 234                         | 2003 | 227,02                      |
| 1938 | 188                         | 1960 | 278                         | 1982 | 270                         | 2004 | 223,70                      |
| 1939 | 265                         | 1961 | 209                         | 1983 | 218                         | 2005 | 231,16                      |
| 1940 | 223                         | 1962 | 266                         | 1984 | 210                         | 2006 | 208,35                      |
| 1941 | 251                         | 1963 | 278                         | 1985 | 246                         | 2007 | 171,77                      |
| 1942 | 166                         | 1964 | 286                         | 1986 | 223                         | 2008 | 235,29                      |
| 1943 | 262                         | 1965 | 284                         | 1987 | 226                         | 2009 | 255,59                      |
| 1944 | 199                         | 1966 | 282                         | 1988 | 203                         | 2010 | 343,77                      |
| 1945 | 208                         | 1967 | 231                         | 1989 | 214                         | 2011 | 199,58                      |

V preglednicah 4 in 6 so prikazani rezultati verjetnostnih analiz oziroma vrednosti pretokov za obe postaji za povratni dobi 10 in 100 let, ki pripadajo različnim porazdelitvam. Na grafikonih 7 in 8 pa so rezultati verjetnostnih analiz predstavljeni še grafično v verjetnostni mreži.

Preglednica 4: Prikaz rezultatov verjetnostne analize za povratni dobi 10 in 100 let

| Porazdelitev | Q10<br>[m <sup>3</sup> /s] | Q100<br>[m <sup>3</sup> /s] |
|--------------|----------------------------|-----------------------------|
| Normalna     | 291,1                      | 331,9                       |
| Log.Normalna | 293,3                      | 347,9                       |
| Gumbel       | 292,1                      | 363,3                       |
| Pearson3     | 291,9                      | 337,5                       |
| Log.Pearson3 | 292,2                      | 339,4                       |



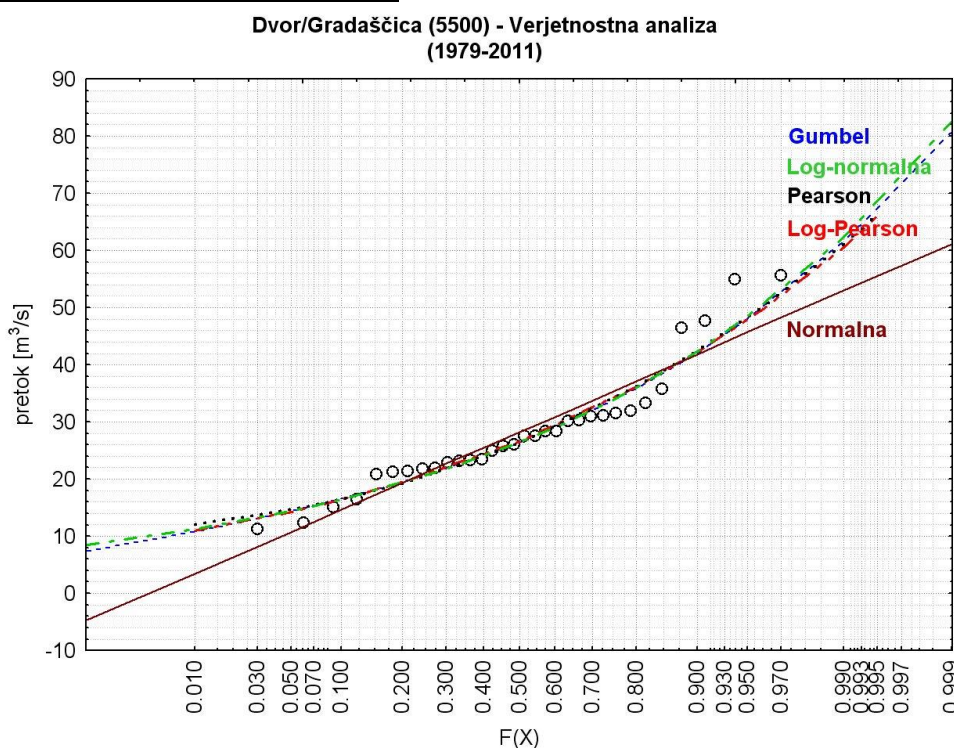
Grafikon 6: Grafični prikaz rezultatov verjetnostne analize za vodomerno postajo Moste (1924-2011)

Preglednica 5: Vrednosti letnih maksimumov za obdobje od leta 1979 do 2011 na vodomerni postaji Dvor na reki Gradaščici (ARSO, 2013)

| Leto | Qmax<br>[m <sup>3</sup> /s] |
|------|-----------------------------|------|-----------------------------|------|-----------------------------|------|-----------------------------|
| 1979 | 47,7                        | 1988 | 16,4                        | 1996 | 27,6                        | 2004 | 31,6                        |
| 1981 | 26,0                        | 1989 | 28,3                        | 1997 | 21,3                        | 2005 | 33,3                        |
| 1982 | 54,9                        | 1990 | 31,1                        | 1998 | 30,3                        | 2006 | 22,0                        |
| 1983 | 30,2                        | 1991 | 27,6                        | 1999 | 11,3                        | 2007 | 12,4                        |
| 1984 | 20,9                        | 1992 | 22,9                        | 2000 | 23,3                        | 2008 | 31,9                        |
| 1985 | 30,9                        | 1993 | 35,8                        | 2001 | 15,0                        | 2009 | 46,4                        |
| 1986 | 23,4                        | 1994 | 28,4                        | 2002 | 24,9                        | 2010 | 55,6                        |
| 1987 | 23,1                        | 1995 | 21,3                        | 2003 | 21,7                        | 2011 | 25,8                        |

Preglednica 6: Prikaz rezultatov za povratni dobi 10 in 100 let

| Porazdelitev | Q10<br>[m <sup>3</sup> /s] | Q100<br>[m <sup>3</sup> /s] |
|--------------|----------------------------|-----------------------------|
| Normalna     | 41,8                       | 53,0                        |
| Log.Normalna | 42,4                       | 62,4                        |
| Gumbel       | 42,1                       | 61,6                        |
| Pearson3     | 42,5                       | 61,1                        |
| Log.Pearson3 | 42,2                       | 60,6                        |



Grafikon 7: Grafični prikaz rezultatov verjetnostne analize za vodomerno postajo Dvor (1979-2011)

### 3.5 Analiza časovnih vrst

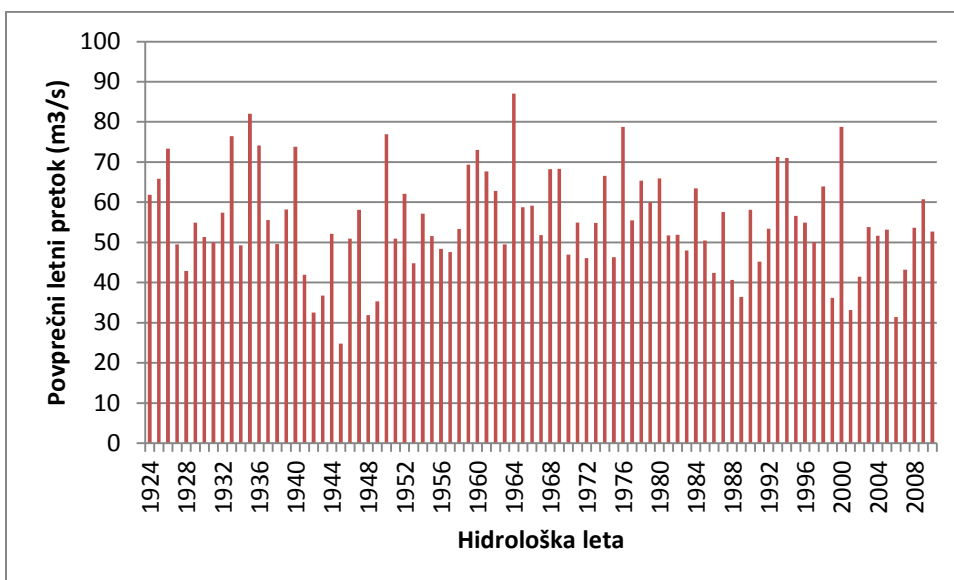
#### 3.5.1 Letne analize

##### 3.5.1.1 Povprečni letni pretok

Povprečni letni pretok dobimo tako, da na podlagi povprečnih dnevnih pretokov izračunamo povprečni letni pretok za vsako leto posebej. Pri računanju se pri hidroloških podatkih ponavadi osredotočimo na hidrološko leto (oktober-september), namesto koledarska leta (januar-december).

Preglednica 7: Povprečni letni pretoki (hidrološko leto) za vodomerno postajo Moste

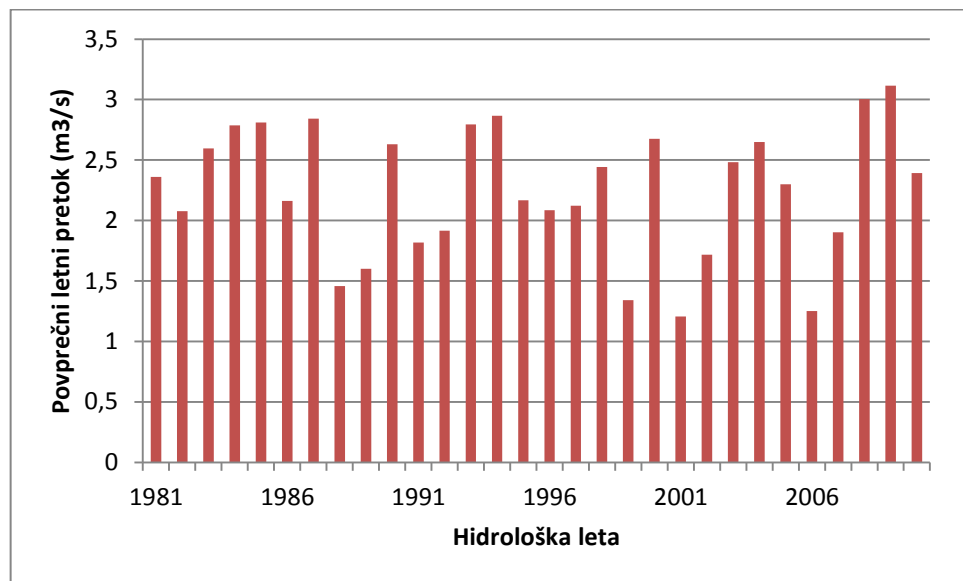
| Leto | Povprečni letni pretok (hidrološka leta) [m <sup>3</sup> /s] | Leto | Povprečni letni pretok (hidrološka leta) [m <sup>3</sup> /s] | Leto | Povprečni letni pretok (hidrološka leta) [m <sup>3</sup> /s] |
|------|--|------|--|------|--|
| 1924 | 61,90  | 1953 | 44,79  | 1982 | 51,93  |
| 1925 | 65,84  | 1954 | 57,14  | 1983 | 47,99  |
| 1926 | 73,31  | 1955 | 51,60  | 1984 | 63,44  |
| 1927 | 49,49  | 1956 | 48,42  | 1985 | 50,48  |
| 1928 | 42,92  | 1957 | 47,59  | 1986 | 42,39  |
| 1929 | 54,95  | 1958 | 53,36  | 1987 | 57,54  |
| 1930 | 51,36  | 1959 | 69,35  | 1988 | 40,69  |
| 1931 | 50,02  | 1960 | 73,03  | 1989 | 36,47  |
| 1932 | 57,42  | 1961 | 67,71  | 1990 | 58,15  |
| 1933 | 76,49  | 1962 | 62,84  | 1991 | 45,24  |
| 1934 | 49,28  | 1963 | 49,51  | 1992 | 53,44  |
| 1935 | 82,06  | 1964 | 87,04  | 1993 | 71,28  |
| 1936 | 74,10  | 1965 | 58,75  | 1994 | 70,99  |
| 1937 | 55,57  | 1966 | 59,17  | 1995 | 56,58  |
| 1938 | 49,57  | 1967 | 51,80  | 1996 | 54,91  |
| 1939 | 58,18  | 1968 | 68,26  | 1997 | 50,11  |
| 1940 | 73,79  | 1969 | 68,31  | 1998 | 63,92  |
| 1941 | 41,91  | 1970 | 46,97  | 1999 | 36,20  |
| 1942 | 32,55  | 1971 | 54,95  | 2000 | 78,79  |
| 1943 | 36,79  | 1972 | 46,12  | 2001 | 33,13  |
| 1944 | 52,14  | 1973 | 54,83  | 2002 | 41,42  |
| 1945 | 24,81  | 1974 | 66,59  | 2003 | 53,80  |
| 1946 | 50,95  | 1975 | 46,34  | 2004 | 51,65  |
| 1947 | 58,10  | 1976 | 78,73  | 2005 | 53,15  |
| 1948 | 31,87  | 1977 | 55,46  | 2006 | 31,38  |
| 1949 | 35,30  | 1978 | 65,40  | 2007 | 43,18  |
| 1950 | 76,92  | 1979 | 60,03  | 2008 | 53,63  |
| 1951 | 50,96  | 1980 | 65,97  | 2009 | 60,75  |
| 1952 | 62,12  | 1981 | 51,78  | 2010 | 52,66  |



Grafikon 8: Povprečni letni pretok (hidrološko leto) za vodomerno postajo Moste (1924-2010)

Preglednica 8: Povprečni letni pretok za vodomerno postajo Dvor

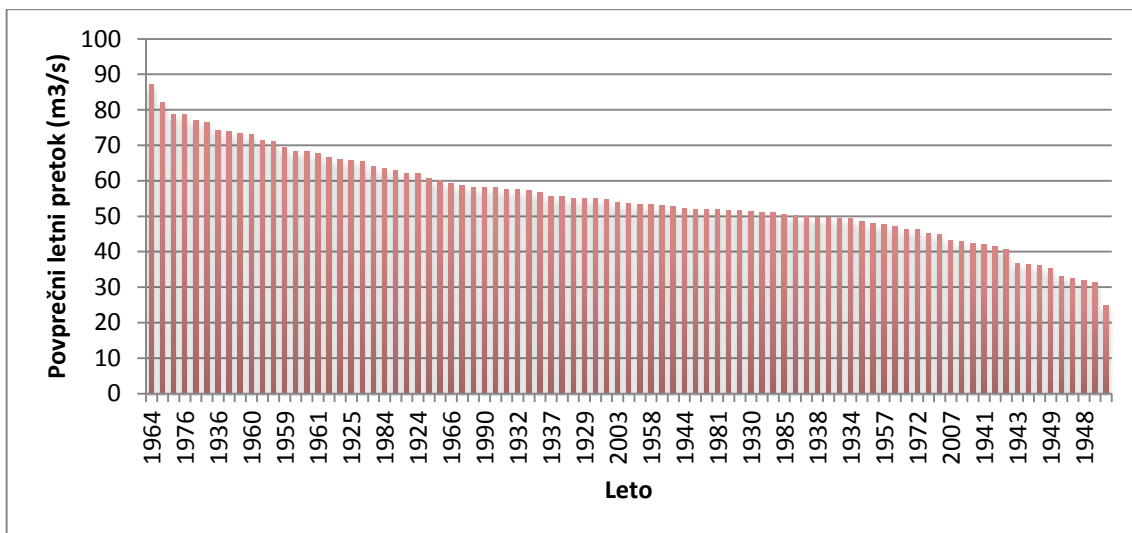
| Leto | Povprečni letni pretok (hidrološka leta) [m³/s] | Leto | Povprečni letni pretok (hidrološka leta) [m³/s] |
|------|---|------|---|
| 1981 | 2,36  | 1996 | 2,09  |
| 1982 | 2,08  | 1997 | 2,12  |
| 1983 | 2,60  | 1998 | 2,44  |
| 1984 | 2,79  | 1999 | 1,34  |
| 1985 | 2,81  | 2000 | 2,67  |
| 1986 | 2,16  | 2001 | 1,21  |
| 1987 | 2,84  | 2002 | 1,72  |
| 1988 | 1,46  | 2003 | 2,48  |
| 1989 | 1,60  | 2004 | 2,65  |
| 1990 | 2,63  | 2005 | 2,30  |
| 1991 | 1,82  | 2006 | 1,25  |
| 1992 | 1,91  | 2007 | 1,90  |
| 1993 | 2,80  | 2008 | 3,00  |
| 1994 | 2,87  | 2009 | 3,11  |
| 1995 | 2,17  | 2010 | 2,39  |



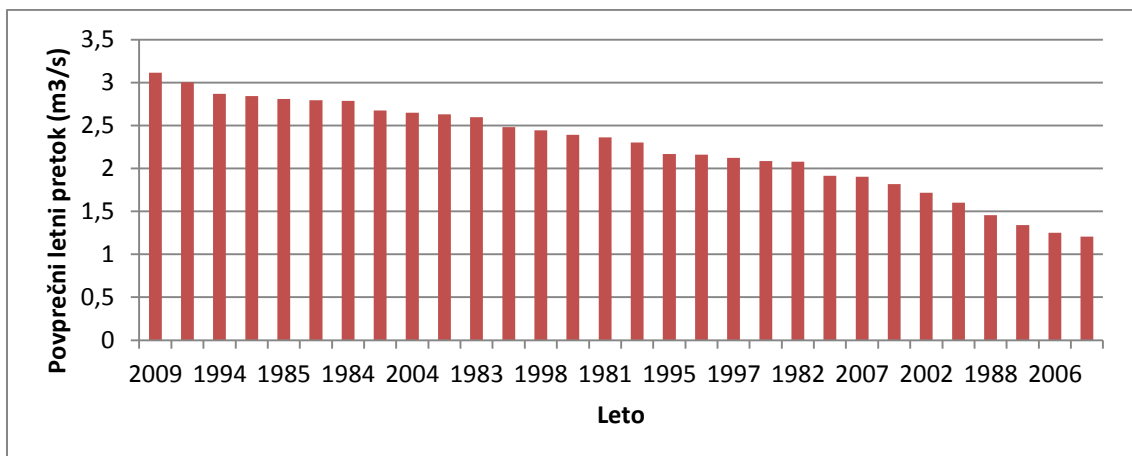
Grafikon 9: Povprečni letni pretok (hidrološko leto) za vodomerno postajo Dvor (1981-2010)

### 3.5.1.2 Razvrščeni povprečni letni pretok

Pri tej analizi smo razvrstili povprečne letne pretoke hidroloških let po velikosti od največjega pretoka do najmanjšega, ne glede na leto.



Grafikon 10: Razvrstitev povprečnih letnih pretokov (hidrološko leto) za vodomerno postajo Moste



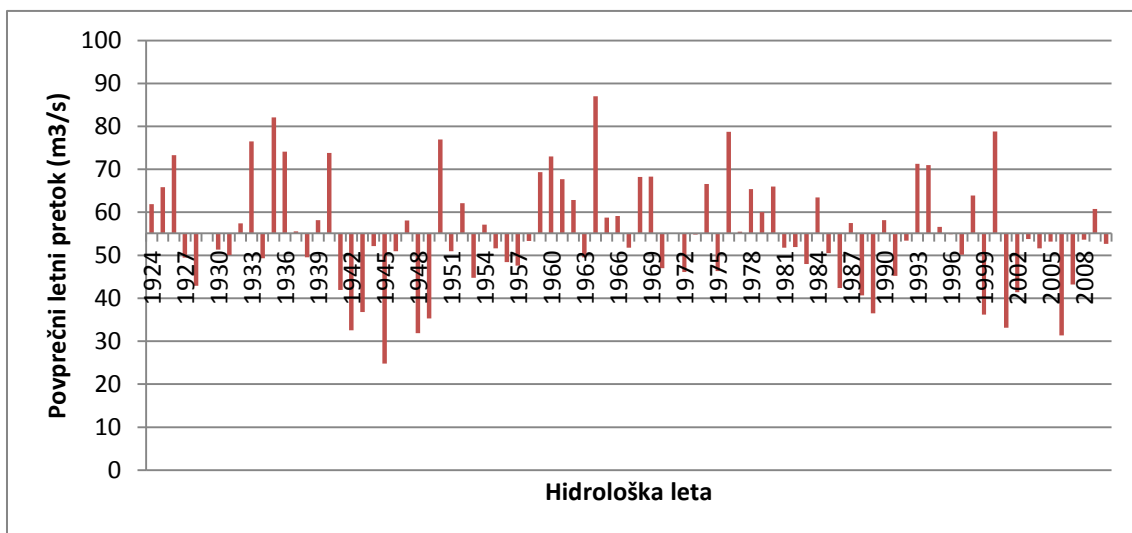
Grafikon 11: Razvrstitev povprečnih letnih pretokov (hidrološko leto) za vodomerno postajo Dvor

### 3.5.1.3 Spreminjanje povprečnega letnega pretoka okoli dolgoletnega povprečja za obdobje meritev

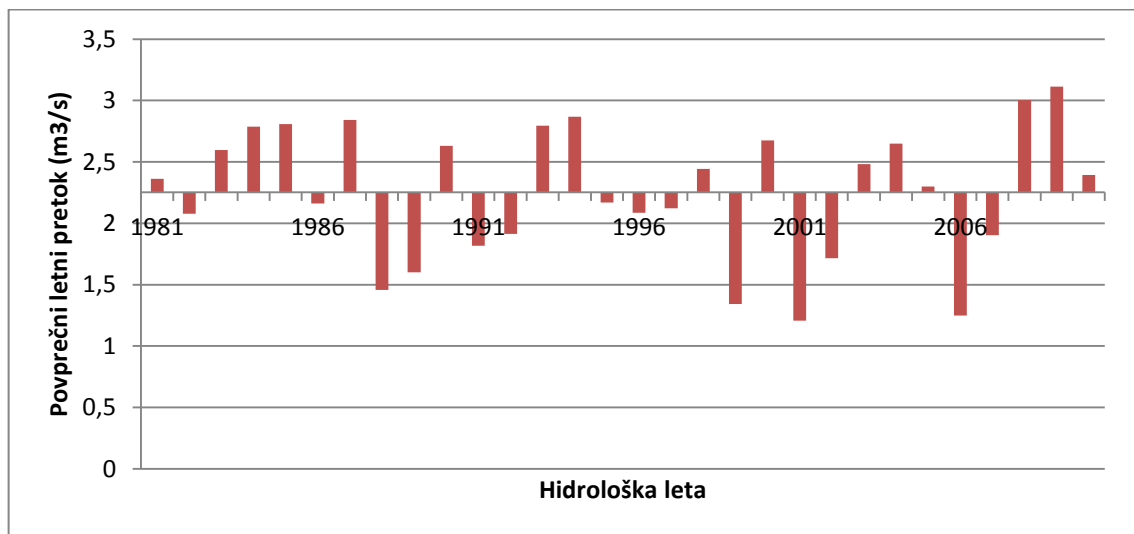
Pri tej analizi na podlagi povprečnih letnih pretokov za vsako hidrološko leto izračunamo skupno povprečje. Nato abcisno os premaknemo tako, da seka ordinato v skupnem povprečju (grafikon 13). Na ta način je lepo razvidno nihanje povprečnega letnega pretoka okoli skupnega povprečnega pretoka za celotno obdobje. Poleg tega je možno določiti tudi vzorec mokrih in suhih let.

Preglednica 9: Dolgoletni povprečni pretok za vodomerni postaji Moste in Dvor

|                             | Pretok<br>[ $m^3/s$ ] |
|-----------------------------|-----------------------|
| Povprečni (Moste) 1924-2010 | 55,147                |
| Povprečni (Dvor) 1981-2010  | 2,252                 |



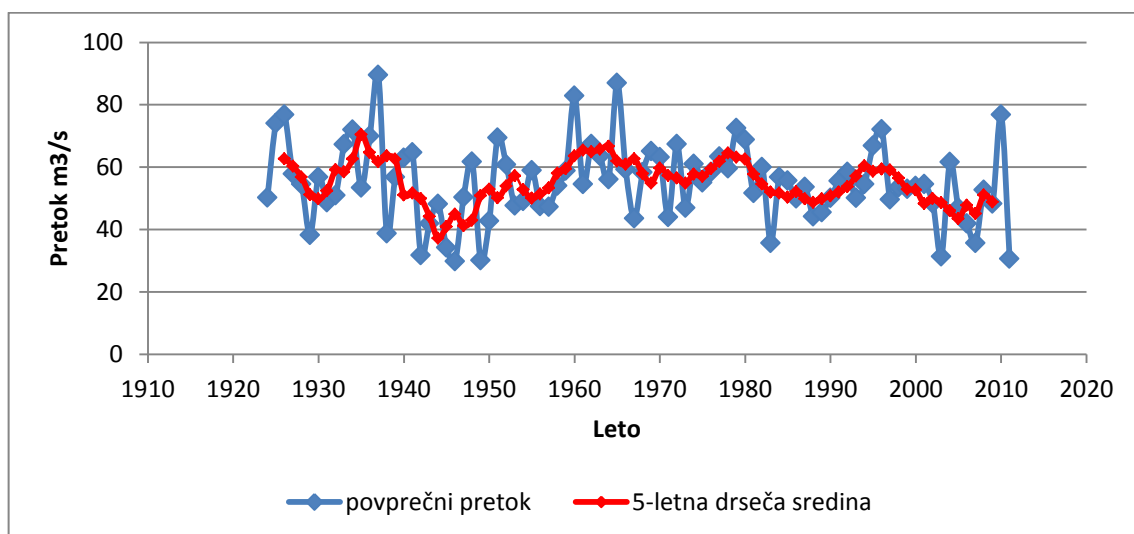
Grafikon 12: Odstopanja letnih pretokov glede na dolgoletno povprečje za vodomerno postajo Moste



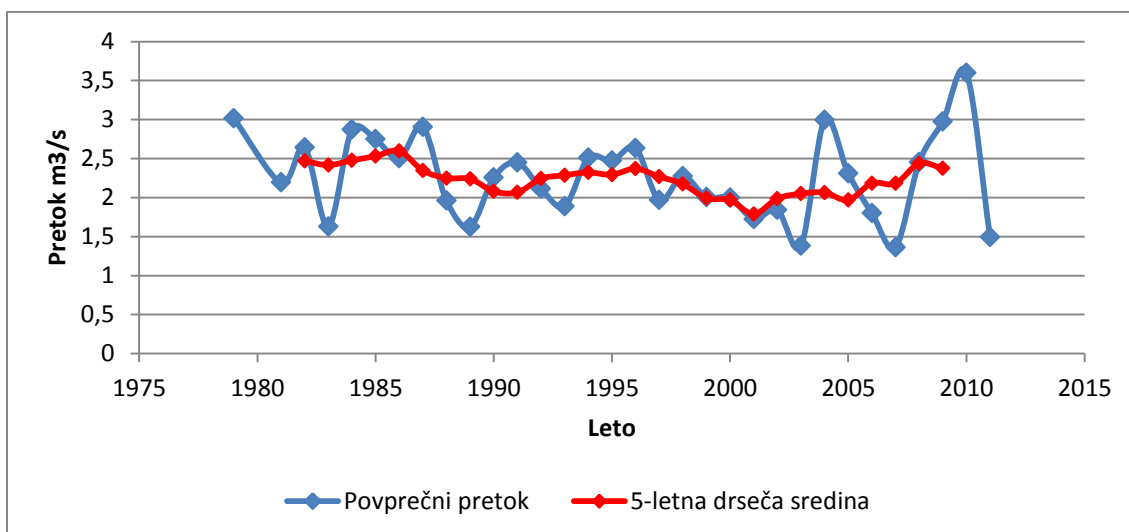
Grafikon 13: Odstopanja letnih pretokov glede na dolgoletno povprečje za vodomerno postajo Dvor

### 3.5.1.4 Drseča sredina

Drseča sredina je povprečna izračunana vrednost pretokov za določeno vrsto let. Izbrali smo 5-letno drsečo sredino, ki izračuna povprečja letnih pretokov za obdobje petih zaporednih let hkrati.



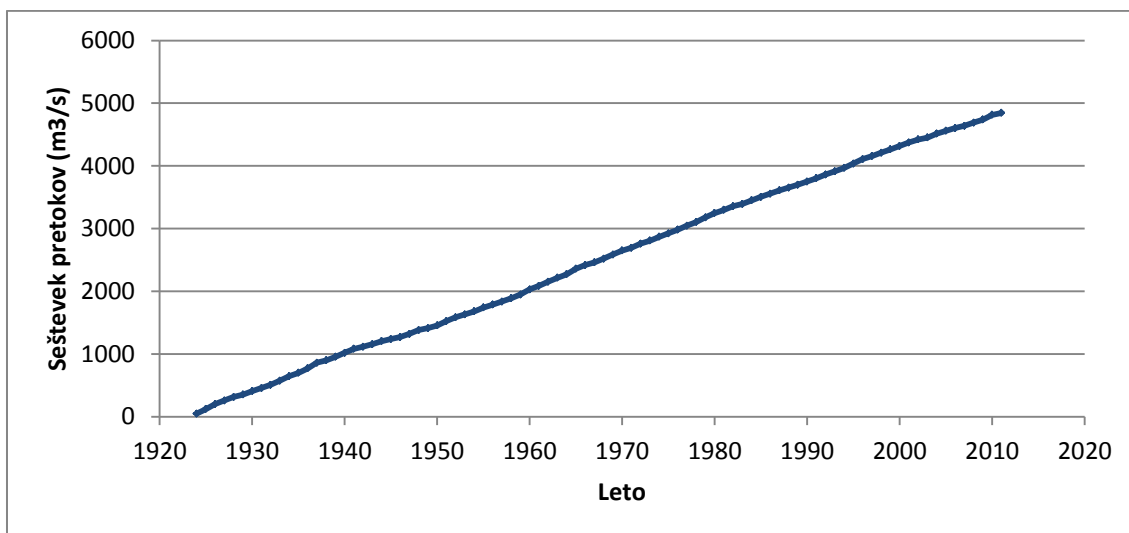
Grafikon 14: 5-letna drseča sredina za vodomerno postajo Moste



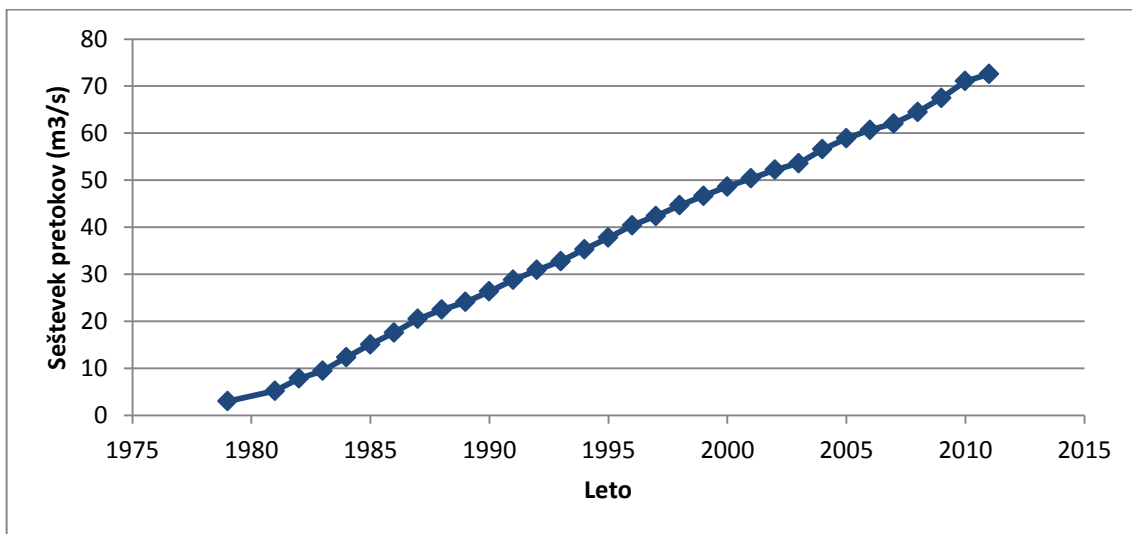
Grafikon 15: 5-letna drseča sredina za vodomerno postajo Dvor

### 3.5.1.5 Letna vsotna krivulja

Vsotna krivulja je grafična metoda, ki se najpogosteje uporablja pri izračunih skladiščnih zmogljivosti rezervoarja. Najpogosteje se uporablja povprečne mesečne ali letne pretoke. Pri vsotni krivulji nastane krivulja kumulativne količine pretokov v odvisnosti od časa.



Grafikon 16: Vsotna krivulja za vodomerno postajo Moste



Grafikon 17: Vsotna krivulja za vodomerno postajo Dvor

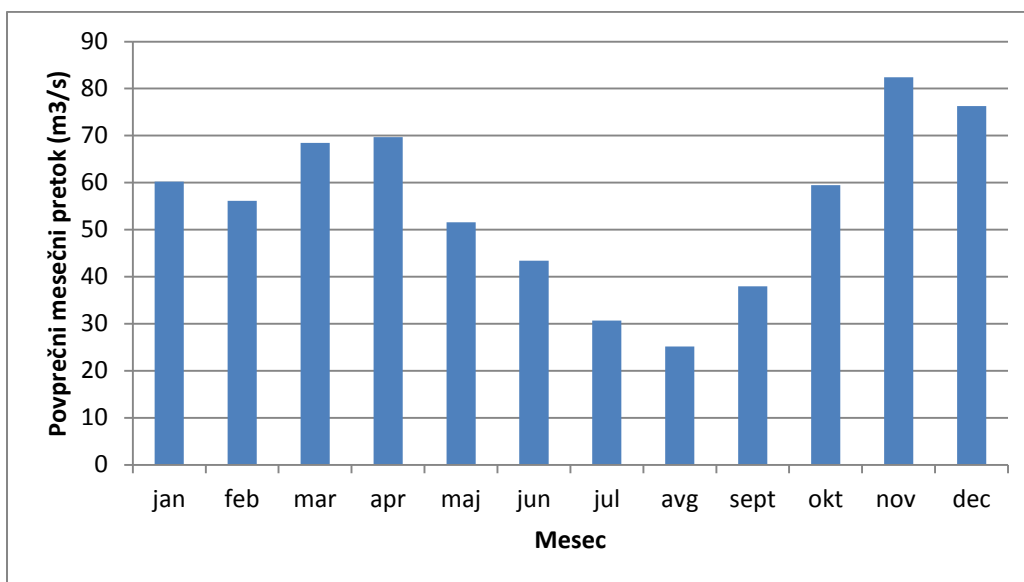
### 3.5.2 Mesečne analize

#### 3.5.2.1 Povprečni mesečni pretok

Povprečni mesečni pretok smo izračunali na podlagi povprečnih dnevnih pretokov za vsak mesec in leto posebej. Nato smo za vsak mesec posebej izračunali povprečni mesečni pretok za celotno obdobje.

Preglednica 10: Povprečni mesečni pretoki za vodomerno postajo Moste (1924-2011)

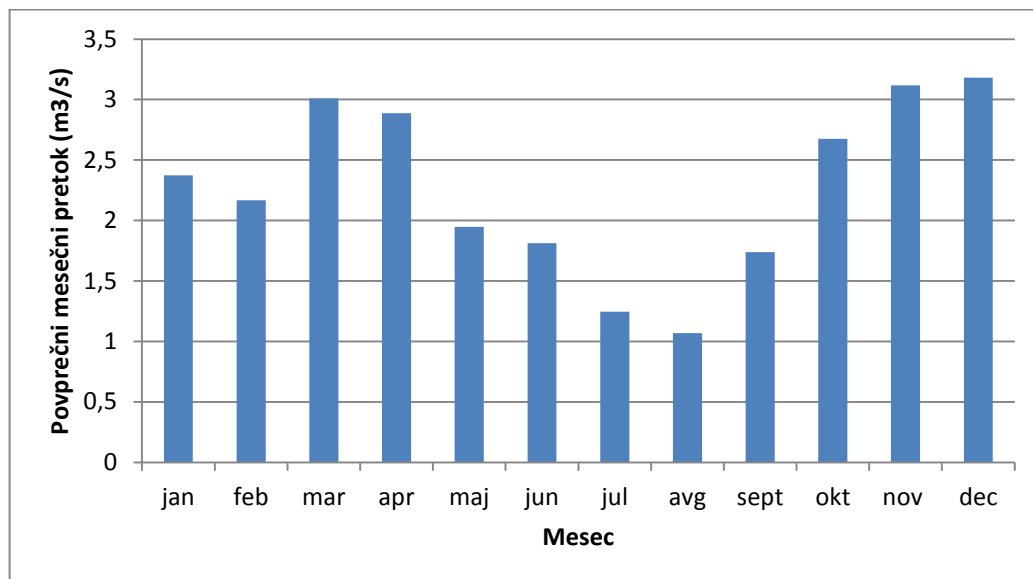
| Mesec | Pretok [m³/s] |
|-------|---------------|
| jan   | 60,21         |
| feb   | 56,14         |
| mar   | 68,44         |
| apr   | 69,68         |
| maj   | 51,54         |
| jun   | 43,38         |
| jul   | 30,70         |
| avg   | 25,18         |
| sept  | 37,99         |
| okt   | 59,44         |
| nov   | 82,41         |
| dec   | 76,29         |



Grafikon 18: Povprečni mesečni pretoki za vodomerno postajo Moste (1924-2011)

Preglednica 11: Povprečni mesečni pretoki za vodomerno postajo Dvor (1979-2011)

| Mesec | Pretok [ $m^3/s$ ] |
|-------|--------------------|
| jan   | 2,37               |
| feb   | 2,17               |
| mar   | 3,01               |
| apr   | 2,89               |
| maj   | 1,95               |
| jun   | 1,81               |
| jul   | 1,25               |
| avg   | 1,07               |
| sept  | 1,74               |
| okt   | 2,68               |
| nov   | 3,12               |
| dec   | 3,18               |



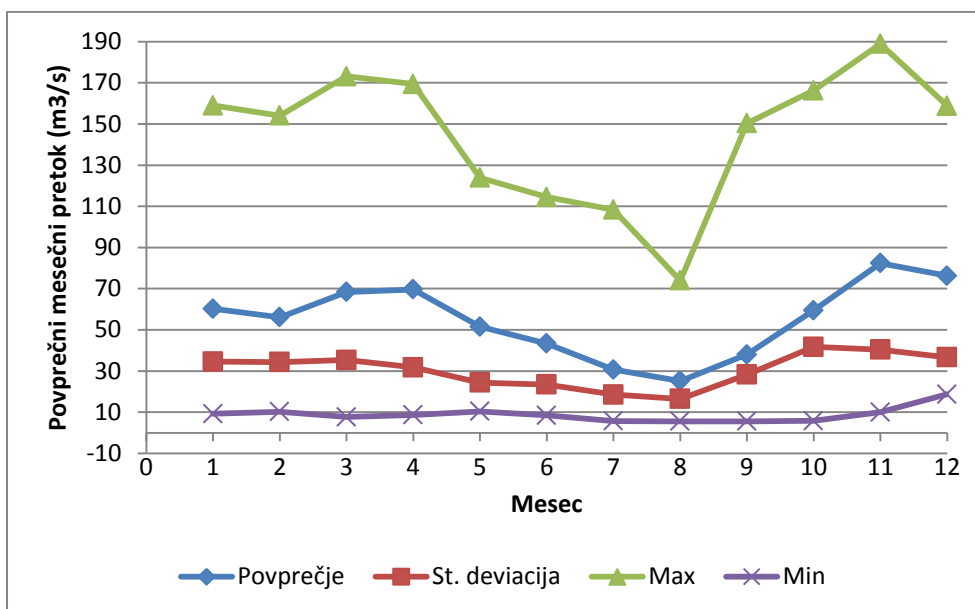
Grafikon 19: Povprečni mesečni pretoki za vodomerno postajo Dvor (1979-2011)

### 3.5.2.2 Izračun osnovnih mesečnih statistik

Na podlagi mesečnih vrednosti pretokov v vsakem letu smo izračunali osnovne statistike (povprečje, standardno deviacijo, minimum in maksimum). Rezultate smo izrisali na skupen graf, ki pokaže, kakšni so sezonski vzorci (grafikon 21).

Preglednica 12: Izračun osnovnih mesečnih statistik pretokov za vodomerno postajo Moste

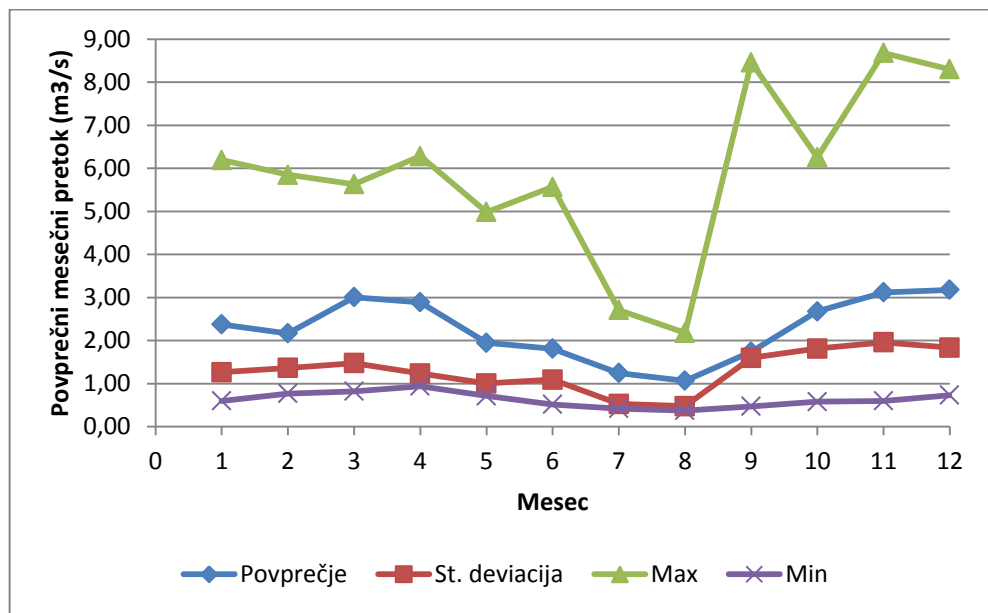
| Mesec | Povprečje<br>[ $m^3/s$ ] | St.deviacija<br>[ $m^3/s$ ] | Max<br>[ $m^3/s$ ] | Min<br>[ $m^3/s$ ] |
|-------|--------------------------|-----------------------------|--------------------|--------------------|
| jan   | 60,21                    | 34,63                       | 158,98             | 9,28               |
| feb   | 56,14                    | 34,40                       | 154,07             | 10,28              |
| mar   | 68,44                    | 35,37                       | 173,10             | 7,72               |
| apr   | 69,68                    | 31,77                       | 169,33             | 8,74               |
| maj   | 51,54                    | 24,44                       | 123,91             | 10,42              |
| jun   | 43,38                    | 23,45                       | 114,53             | 8,50               |
| jul   | 30,70                    | 18,56                       | 108,37             | 5,78               |
| avg   | 25,18                    | 16,52                       | 73,97              | 5,60               |
| sept  | 37,99                    | 28,33                       | 150,30             | 5,62               |
| okt   | 59,44                    | 41,76                       | 166,29             | 5,85               |
| nov   | 82,41                    | 40,41                       | 188,88             | 10,03              |
| dec   | 76,29                    | 36,66                       | 158,78             | 18,71              |



Grafikon 20: Prikaz osnovnih mesečnih statistik za vodomerno postajo Moste

Preglednica 13: Izračun osnovnih mesečnih statistik pretokov za vodomerno postajo Dvor

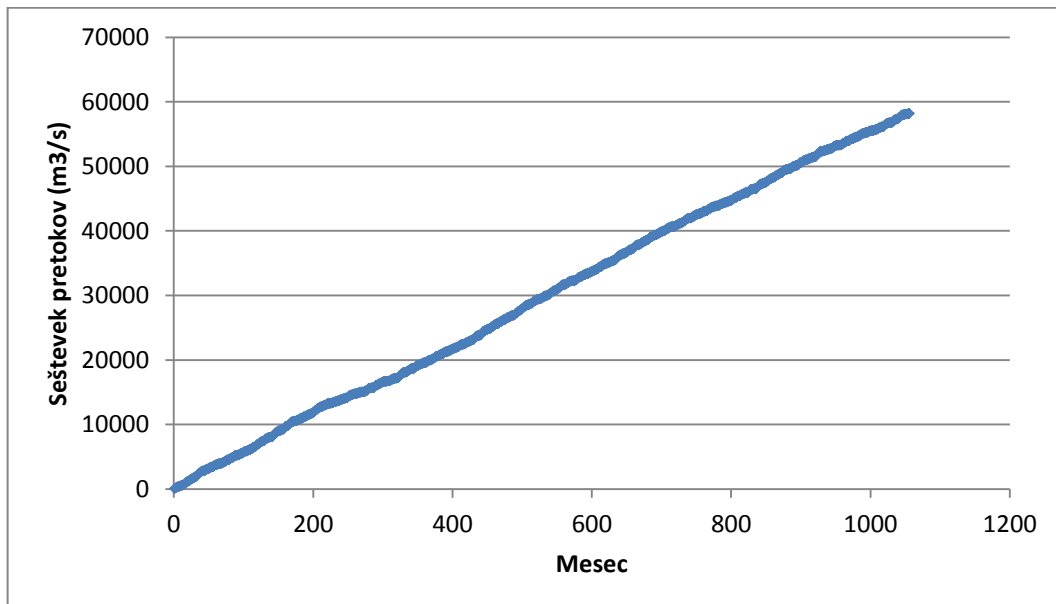
| Mesec | Povprečje<br>[ $m^3/s$ ] | St.deviacija<br>[ $m^3/s$ ] | Max<br>[ $m^3/s$ ] | Min<br>[ $m^3/s$ ] |
|-------|--------------------------|-----------------------------|--------------------|--------------------|
| jan   | 2,37                     | 1,26                        | 6,19               | 0,60               |
| feb   | 2,17                     | 1,37                        | 5,85               | 0,77               |
| mar   | 3,01                     | 1,48                        | 5,63               | 0,82               |
| apr   | 2,89                     | 1,23                        | 6,28               | 0,94               |
| maj   | 1,95                     | 1,00                        | 4,98               | 0,72               |
| jun   | 1,81                     | 1,09                        | 5,57               | 0,52               |
| jul   | 1,25                     | 0,53                        | 2,71               | 0,42               |
| avg   | 1,07                     | 0,48                        | 2,18               | 0,38               |
| sept  | 1,74                     | 1,60                        | 8,46               | 0,47               |
| okt   | 2,68                     | 1,81                        | 6,26               | 0,58               |
| nov   | 3,12                     | 1,96                        | 8,68               | 0,60               |
| dec   | 3,18                     | 1,84                        | 8,30               | 0,74               |



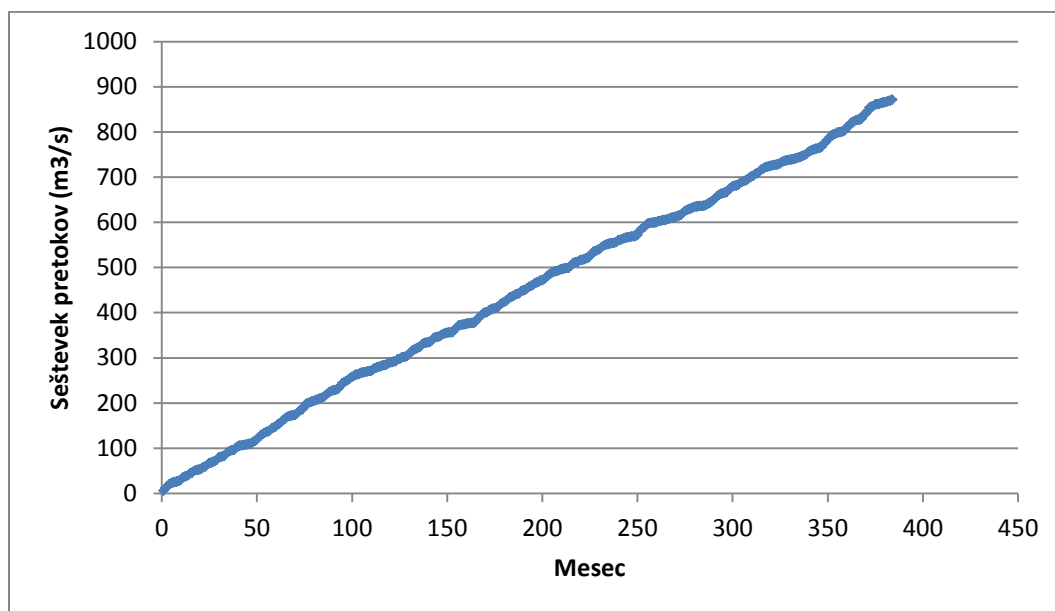
Grafikon 21: Prikaz osnovnih mesečnih statistik za vodomerno postajo Dvor

### 3.5.2.3 Mesečna vsotna krivulja

Pri mesečni vsotni krivulji najprej za izbrano obdobje izračunamo povprečne mesečne pretoke posameznih let. Te pretoke nato postopoma seštevamo. Na ta način lahko ugotovimo, kakšna je sezonska razpoložljivost vode (Oregon State University, 2005).



Grafikon 22: Mesečna vsotna krivulja za vodomerno postajo Moste



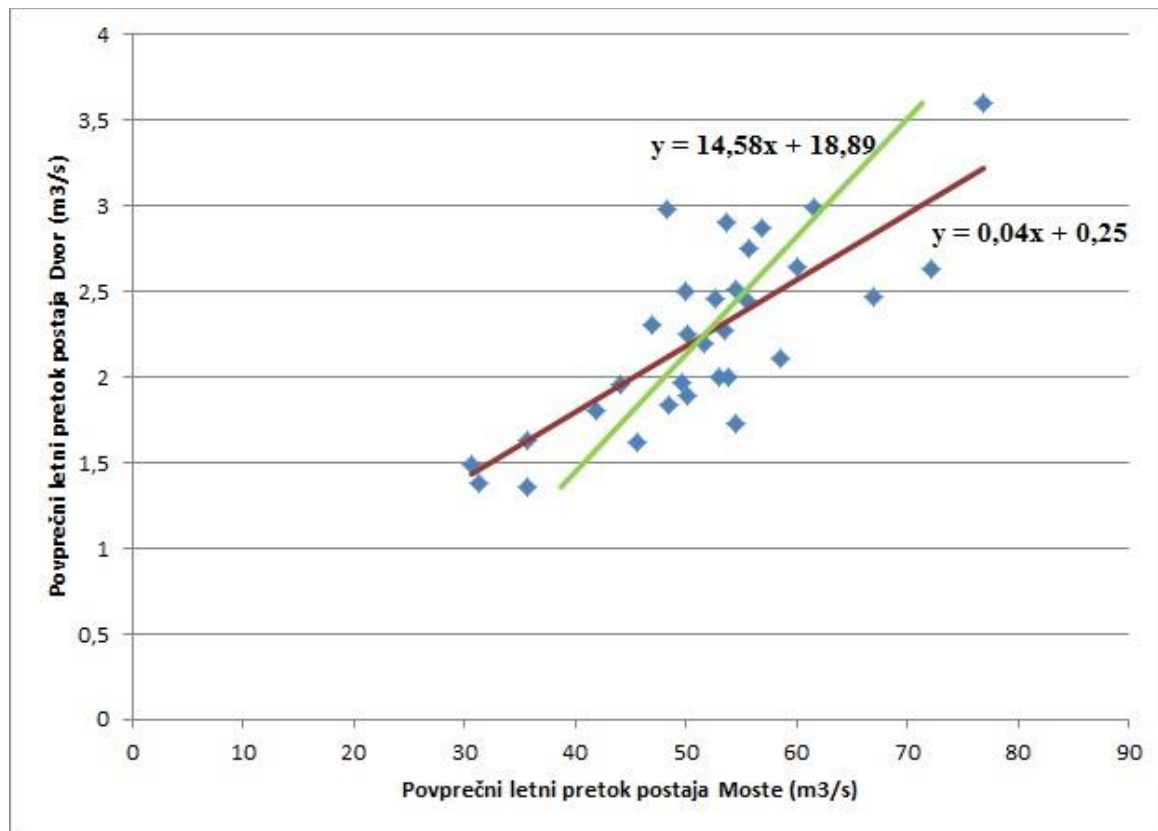
Grafikon 23: Mesečna vsotna krivulja za vodomerno postajo Dvor

### 3.6 Regresija

Pri tej analizi smo za vodomerni postaji Moste in Dvor izbrali povprečne letne pretoke iz enakega obdobja (1981-2011), in skušali ugotoviti, kakšna je njuna medsebojna povezava.

Preglednica 14: Korelacijski koeficient  $r$ , kot  $\gamma$  ter regresijski koeficienti  $a_1$ ,  $a_2$ ,  $b_1$  in  $b_2$  za podatke povprečnih letnih pretokov vodomernih postaj Moste in Dvor (1981-2011)

|           |       |
|-----------|-------|
| $r$       | 0,75  |
| $t\gamma$ | 0,03  |
| $a_1$     | 0,04  |
| $a_2$     | 14,58 |
| $b_1$     | 0,25  |
| $b_2$     | 18,89 |



Grafikon 24: Regresijski premici za podatke povprečnih letnih pretokov vodomernih postaj Moste in Dvor (1981-2011)

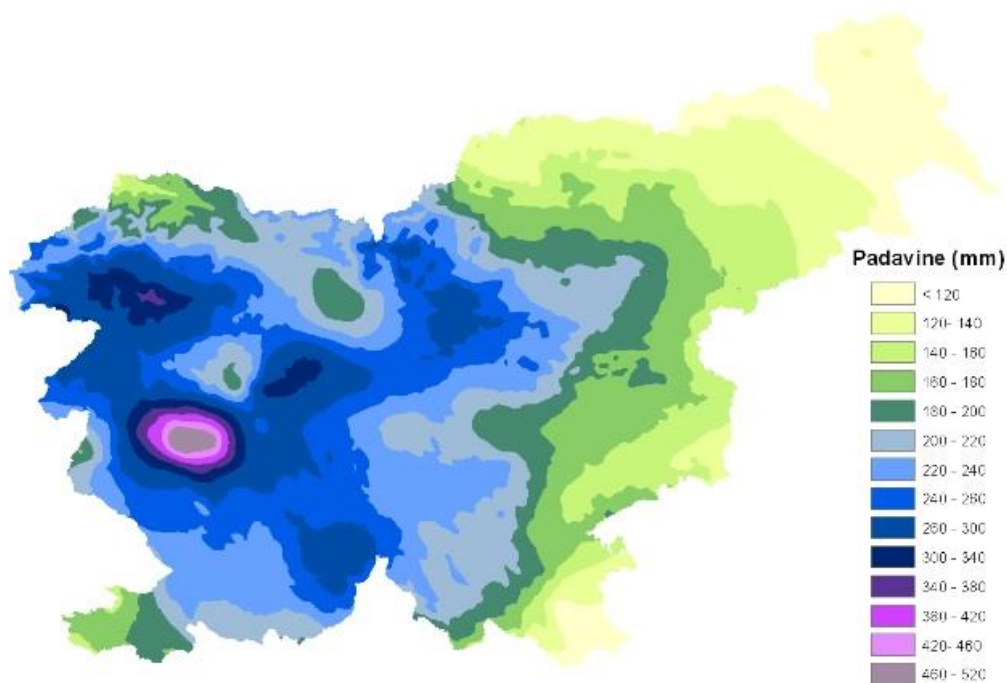
## 4 PRIMERJAVA IN ANALIZA REZULTATOV

### 4.1 Analiza osnovnih statistik vzorca

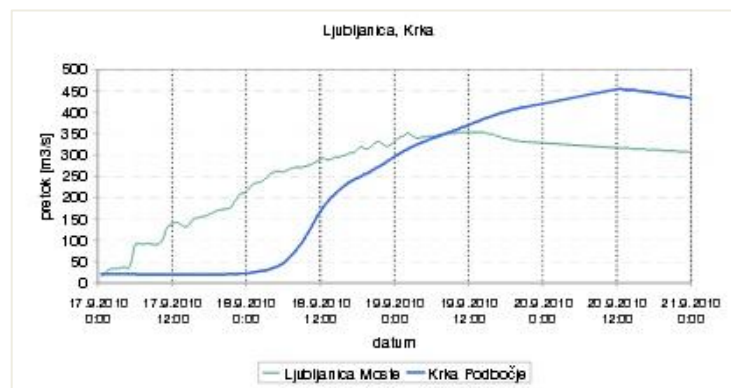
Za vodomerno postajo Moste znaša povprečni pretok  $55,07 \text{ m}^3/\text{s}$ , standardna deviacija pa  $49,14 \text{ m}^3/\text{s}$ . Minimalni pretok v obdobju meritev od leta 1924 do leta 2011 znaša  $4,04 \text{ m}^3/\text{s}$ , ki so ga izmerili septembra leta 1947. Maksimalni pretok v istem obdobju pa znaša  $343,77 \text{ m}^3/\text{s}$ , Izmerjen pa je bil 19. septembra leta 2010.

Za vodomerno postajo Dvor znaša povprečni pretok  $2,27 \text{ m}^3/\text{s}$ , standardna deviacija pa  $3,01 \text{ m}^3/\text{s}$ . Minimalni pretok v obdobju od leta 1979 do leta 2011 znaša  $0,29 \text{ m}^3/\text{s}$ , ki so ga izmerili avgusta leta 1993. Maksimalni pretok v istem obdobju pa znaša  $55,63 \text{ m}^3/\text{s}$  in je bil izmerjen 18. septembra leta 2010.

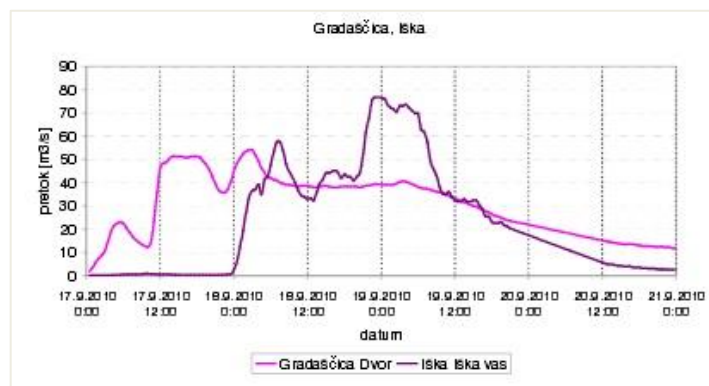
Maksimalni pretoki obeh vodomernih postaj so posledica močnih padavin, ki so zajele Slovenijo septembra leta 2010 (slike 18 do 21).



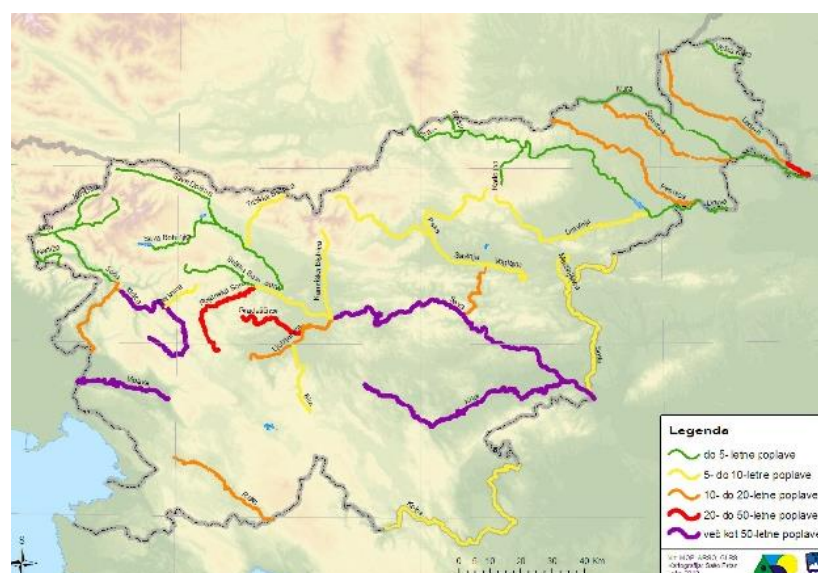
Slika 15: Vsota 4-dnevnih padavin od 16. do 20. septembra 2010 (Ministrstvo za okolje in prostor RS, 2010)



Slika 16: Hidrogram pretoka za reko Ljubljanico septembra 2010 (Ministrstvo za okolje in prostor RS, 2010)



Slika 17: Hidrogram pretoka za reko Gradaščico septembra 2010 (Ministrstvo za okolje in prostor RS, 2010)



Slika 18: Povratne dobe pretokov rek od 16. do 19. septembra 2010 (Ministrstvo za okolje in prostor RS, 2010)

## 4.2 Analiza empirične porazdelitve pogostosti (krivulja trajanja)

Za vodomerni postaji Moste in Dvor sta na grafikonu 5 predstavljeni brezdimenzijski krivulji trajanja. Pri postaji Dvor lahko vidimo, da maksimalna brezdimenzijska vrednost  $Q/Q_{\text{povp}}$  znaša 24,5, medtem ko je pri postaji Moste maksimalna brezdimenzijska vrednost 6,24. Iz tega lahko sklepamo, da je pri vodomerni postaji Dvor na Gradaščici veliko večje odstopanje največjih vrednosti pretokov od povprečja kot pri postaji Moste na Ljubljanici. V preostalem območju pretokov pa se krivulji lepo ujemata, kar kaže na podobne razmere povprečnih in nizkih pretokov.

## 4.3 Primerjava rezultatov verjetnostnih analiz visokovodnih konic

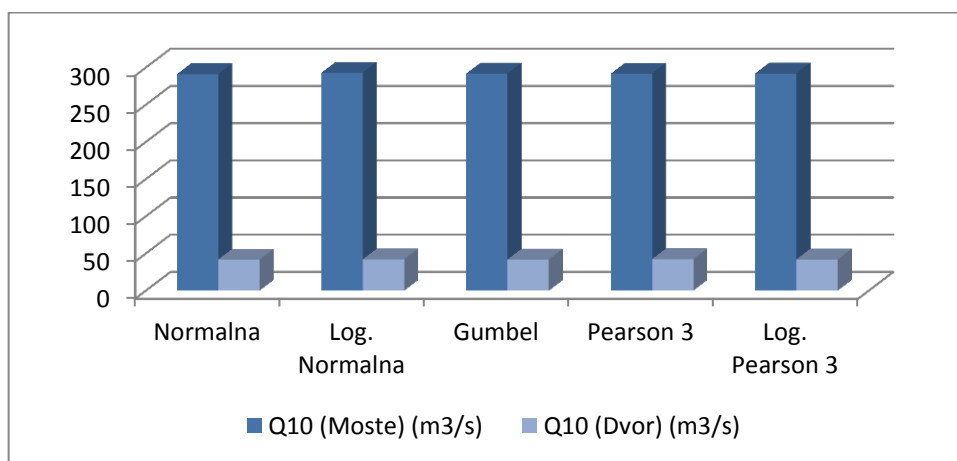
V preglednici 17 je prikazana primerjava rezultatov verjetnostne analize visokovodnih konic, ki je bila narejena s pomočjo vzorca letnih maksimumov. Prikazani so rezultati ocenjenih vrednosti pretokov z 10 in 100-letno povratno dobo, ki smo jih dobili s pomočjo različnih porazdelitvenih funkcij (normalna, logaritemsko normalna, Gumbelova, Pearsonova 3 in logaritemsko Pearsonova porazdelitev).

Preglednica 15: Primerjava ocenjenih vrednosti pretokov z 10- in 100-letno povratno dobo za vodomerni postaji Moste in Dvor

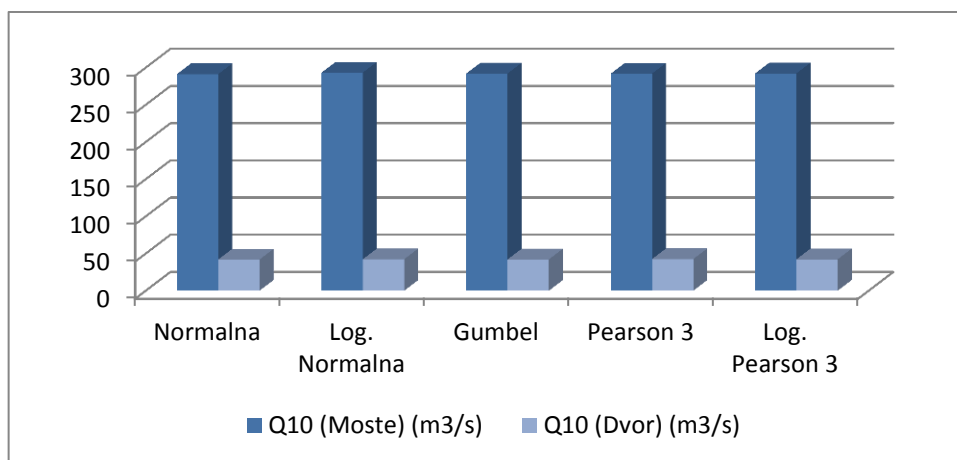
| <b>Porazdelitev</b> | <b>Q10 (Moste) [m<sup>3</sup>/s]</b> | <b>Q10 (Dvor) [m<sup>3</sup>/s]</b> | <b>Porazdelitev</b> | <b>Q100 (Moste) [m<sup>3</sup>/s]</b> | <b>Q100 (Dvor) [m<sup>3</sup>/s]</b> |
|---------------------|--------------------------------------|-------------------------------------|---------------------|---------------------------------------|--------------------------------------|
| Normalna            | 291,1                                | 41,85                               | Normalna            | 331,9                                 | 53,02                                |
| Log. Normalna       | 293,3                                | 42,38                               | Log. Normalna       | 347,9                                 | 62,39                                |
| Gumbel              | 292,1                                | 42,12                               | Gumbel              | 363,3                                 | 61,61                                |
| Pearson 3           | 291,9                                | 42,50                               | Pearson 3           | 337,5                                 | 61,08                                |
| Log. Pearson 3      | 292,2                                | 42,22                               | Log. Pearson 3      | 339,4                                 | 60,62                                |

Za vodomerno postajo Moste smo za 10-letno povratno dobo dobili največjo oceno pretoka s pomočjo logaritemsko normalne porazdelitve, in sicer  $293,3 \text{ m}^3/\text{s}$ . Za 100-letno povratno dobo pa smo najvišjo oceno pretoka dobili z Gumbelovo porazdelitvijo, in znaša  $363,3 \text{ m}^3/\text{s}$ .

Za vodomerno postajo Dvor smo za 10-letno povratno dobo dobili največjo oceno pretoka s Pearsonovo 3 porazdelitvijo in znaša  $42,5 \text{ m}^3/\text{s}$ . Za 100-letno povratno dobo pa smo najvišjo oceno dobili z logaritemsko normalno porazdelitvijo, in sicer  $62,39 \text{ m}^3/\text{s}$ .



Grafikon 25: Ocenjene vrednosti pretokov z 10-letno povratno dobo, dobljene z različnimi porazdelitvami za vodomerni postaji Moste in Dvor



Grafikon 26: Ocenjene vrednosti pretokov s 100- letno povratno dobo, dobljene z različnimi porazdelitvami za vodomerni postaji Moste in Dvor

## 4.4 Analiza časovnih vrst

### 4.4.1 Letne analize

#### 4.4.1.1 Primerjava povprečnega letnega pretoka

Za vodomerni postaji Moste in Dvor smo izračunali povprečni letni pretok, kjer smo se osredotočili na hidrološka leta (oktober-september).

Na vodomerni postaji Moste (grafikon 8) najvišji povprečni letni pretok (1924 - 2010) znaša  $87,04 \text{ m}^3/\text{s}$  (1964), najmanjši pa  $24,81 \text{ m}^3/\text{s}$  (1963).

Na vodomerni postaji Dvor (grafikon 9) najvišji letni pretok v obdobju od leta 1981 do 2010 znaša  $3,11 \text{ m}^3/\text{s}$  (2009), najmanjši pa je za leto 2001 in znaša  $1,21 \text{ m}^3/\text{s}$ .

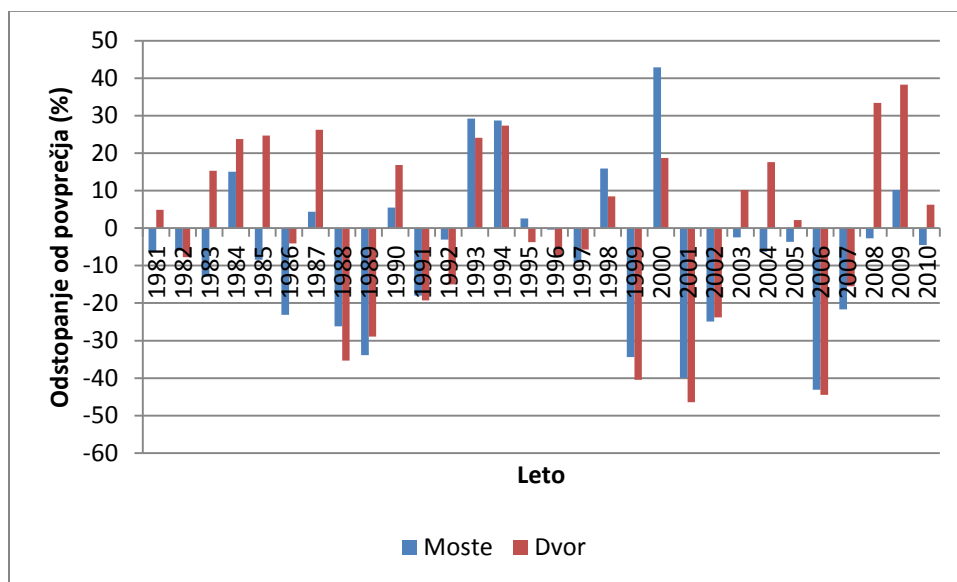
#### 4.4.1.2 Analiza razvrščenih povprečnih letnih pretokov

Pri razvrščenem povprečnem letnem pretoku smo za obe vodomerni postaji razvrstili povprečne letne pretoke po velikosti. Na ta način lahko hitro identificiramo ekstremno visoke in nizke pretoke, ter območje povprečnih pretokov. Iz grafikonov 10 in 11 lahko vidimo, da je razlika med ekstremnimi pretoki za vodomerno postajo Moste veliko večja kot za postajo Dvor.

#### 4.4.1.3 Analiza spremnjanja povprečnega letnega pretoka okoli dolgoletnega povprečja

Povprečni letni pretok za hidrološka leta znaša za vodomerno postajo Moste  $55,147 \text{ m}^3/\text{s}$  (grafikon 12), za vodomerno postajo Dvor pa  $2,252 \text{ m}^3/\text{s}$  (grafikon 13).

S pomočjo te metode si lažje predstavljamo, kakšno je vsakoletno nihanje povprečnega letnega pretoka okoli dolgoletnega povprečnega pretoka, poleg tega je možno na podlagi grafa ugotoviti vzorcev mokrih in suhih let.



Grafikon 27: Grafikon odstopanj za obdobje od 1981 do 2011 za postaji Moste in Dvor

Na grafikonu 27 vidimo, da se vzorca suhih in mokrih let obeh postaj dokaj dobro ujemata, predvsem v sušnih obdobjih. So pa opazne razlike v mokrih obdobjih pred letom 1987 in po letu 2003.

#### **4.4.1.4 Analiza drseče sredine**

S pomočjo drseče sredine lahko identificiramo sušna in mokra obdobja. Za vodomerno postajo Moste (grafikon 14) je najbolj mokro obdobje nastopilo med leti 1930 in 1940, najbolj sušno pa v naslednjem desetletju med leti 1940 in 1950. Pri vodomerni postaji Dvor je najbolj mokro obdobje okoli leta 1986, najbolj sušno pa okrog leta 2001 (grafikon 15).

#### **4.4.2 Mesečne analize**

##### **4.4.2.1 Analiza povprečnega mesečnega pretoka**

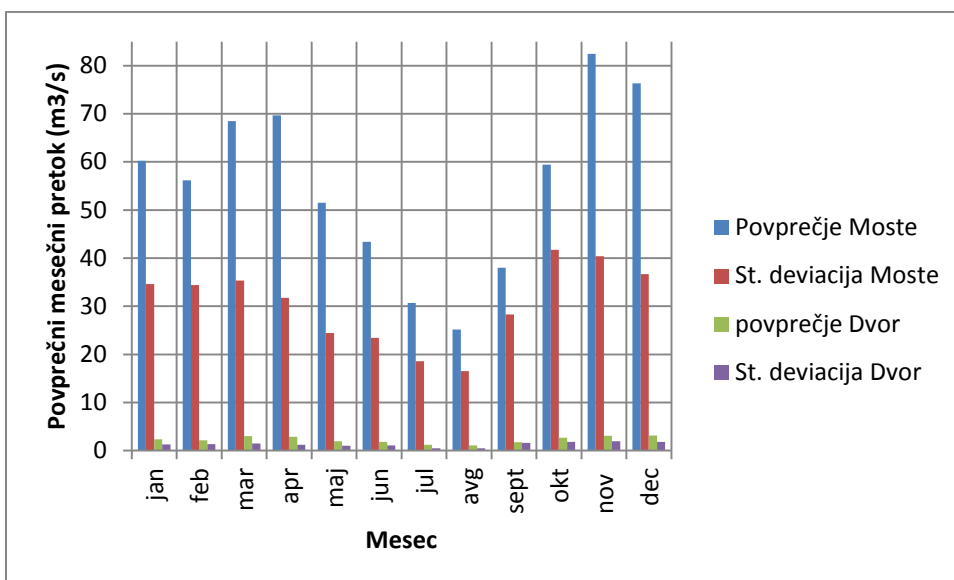
Na grafikonu 18 in 19 so predstavljeni mesečni povprečni pretoki za vodomerni postaji Moste in Dvor. Pri obeh je višek dosežen spomladi (marec, april) in jeseni (november, december). Najmanj vode pa je poleti (avgusta) ter januarja in februarja. Za obe postaji je tako značilen dinarsko dežno-snežni režim.

##### **4.4.2.2 Analiza osnovnih mesečnih**

Iz grafikona 28 lahko vidimo, da je za vodomerno postajo Moste najvišji povprečni mesečni pretok dosežen novembra, in sicer  $82,41 \text{ m}^3/\text{s}$ , standardna deviacija pa znaša  $40,41 \text{ m}^3/\text{s}$ . Najmanjše mesečno povprečje je v mesecu avgustu, kjer je povprečni pretok  $25,18 \text{ m}^3/\text{s}$ , standardna deviacija pa  $16,52 \text{ m}^3/\text{s}$ .

Za vodomerno postajo Dvor je najvišje mesečno povprečje doseženo decembra  $3,18 \text{ m}^3/\text{s}$ , kjer je standardna deviacija znašala  $1,84 \text{ m}^3/\text{s}$ . Najmanjše mesečno povprečje za to postajo je v mesecu avgustu, kjer je povprečni pretok  $1,07 \text{ m}^3/\text{s}$ , standardna deviacija  $0,48 \text{ m}^3/\text{s}$ .

Sicer pa iz grafikona 28 lepo vidimo, da je vzorec mesečnih pretokov na obeh postajah zelo podoben, kar je seveda posledica enakega rečnega režima.



Grafikon 28: Primerjava osnovnih mesečnih statistik za vodomerni postaji Moste in Dvor

#### 4.4.2.3 Analiza mesečne vsotne krivulje

Za vodomerno postajo Moste in Dvor smo izračunali in grafično prikazali mesečno vsotno krivuljo (grafikon 22 in 23). Pri postaji Moste smo za obdobje od leta 1924 do leta 2011 izračunali povprečne mesečne pretoke in jih nato postopoma seštevali. Skupno število mesecev je znašalo 1056, skupni seštevek pretokov pa  $58203,85 \text{ m}^3/\text{s}$ . Pri postaji Dvor pa smo povprečne mesečne pretoke izračunali za obdobje od leta 1979 do 2011. Skupno število mesecev je znašalo 384, skupni seštevek pretokov pa  $871,23 \text{ m}^3/\text{s}$ . Nobena od krivulj ne kaže zelo izrazitih odstopanj v posameznem obdobju.

#### 4.5 Analiza regresije

Za vodomerni postaji Moste in Dvor smo izračunali vrednost korelacijskega koeficienta  $r$ , regresijska koeficienta  $a_1$  in  $a_2$  ter kot  $\gamma$ .

Ker znaš za naš primer korelacijski koeficient 0,75, lahko govorimo o dobri korelaciji med podatki obeh postaj (grafikon 24). Do podobnih ugotovitev smo prišli tudi pri večini ostalih analiz.

## 5 ZAKLJUČKI

V hidrologiji s pomočjo različnih hidroloških in statističnih metod analiziramo hidrološke podatke in tako določamo karakteristične vrednosti, ugotavljamo razmerja med njimi ter določamo lastnosti nizov podatkov oziroma vodomernih postaj.

V nalogi smo predstavili različne metode za analizo karakterističnih vrednosti merjenih pretokov. Na kratko smo opisali osnovno statistično analizo vzorca, krivuljo trajanja, verjetnostno analizo visokovodnih konic, analizo časovnih vrst, regresijo ter dvojno vsotno krivuljo.

V praktičnem delu smo za vodomerni postaji Ljubljanica Moste za obdobje od leta 1924 do leta 2011 in Gradaščica Dvor za obdobje od leta 1979 do leta 2011 izvedli vse opisane analize. Pri osnovni statistični analizi vzorca smo izračunali povprečje, standardno deviacijo, mod, mediano ter minimum in maksimum. Ugotovili smo da so maksimalni pretoki obeh vodomernih postaj posledica močnih padavin, ki so zajele Slovenijo septembra leta 2010. Pri analizi empirične porazdelitve pogostosti smo za obe postaji izrisali brezdimenzijski krivulji trajanja. Iz njih smo razbrali, da je pri vodomerni postaji Dvor veliko večje odstopanje največjih vrednosti pretokov od povprečja kot pri vodomerni postaji Moste. Nato smo izvedli verjetnostno analizo visokovodnih konic, ki je bila narejena s pomočjo vzorca letnih maksimumov. Ocene pretokov različnih povratnih dob pa smo dobili s pomočjo porazdelitvenih funkcij (normalna, logaritemsko normalna, Gumbelova, Pearsonova 3 in logaritemsko Pearsonova 3 porazdelitev). Pri analizi časovnih vrst smo izdelali letne in mesečne analize, ter jih nato med seboj primerjali. Na koncu je sledila še regresija. Za vodomerni postaji Moste in Dvor smo izračunali vrednost korelačijskega koeficiente, ki je znašal 0,75 kar pomeni, da lahko govorimo o dobri korelaciji med pretoki obeh postaj.

## VIRI

Bengston, H. 2011. Hydrology (Part 2) - Frequency analysis of flood data. Stony Point, CED engineering: 90 str.

Brilly, M., Šraj, M. 2005. Osnove hidrologije. Ljubljana, Univerza v Ljubljani, Fakulteta za gradbeništvo in geodezijo: 309 str.

Frantar, P., Hrvatin, M. 2008. Pretočni režimi. V: Frantar, P. (ur). Vodna bilanca Slovenije 1971-2000 = Water balance of Slovenia 197-2000. Ministrstvo za okolje in prostor. Ljubljana, Agencija Republike Slovenije za okolje: 43–50.

Gumbelova porazdelitev. 2013.

[http://sl.wikipedia.org/wiki/Gumbelova\\_porazdelitev](http://sl.wikipedia.org/wiki/Gumbelova_porazdelitev) (Pridobljeno 10. 7. 2013.)

Hydrology project. 1999a. How to analyse discharge data.

<http://www.cwc.gov.in/main/HP/download/41%20HOW%20TO%20ANALYSE%20DISCHARGE%20DATA.pdf> (Pridobljeno 10. 05. 2013.)

Hydrology project. 1999b. How to carry out secondary validation of rainfall data.  
<http://www.cwc.gov.in/main/HP/download/09%20How%20to%20carry%20out%20secondary%20validation%20of%20rainfall.pdf> (Pridobljeno 25. 7. 2013.)

Hydrology project. 2002. Statistical analysis with reference to rainfall and discharge data.  
<http://www.cwc.gov.in/main/HP/DOWNLOAD/43%20Statistical%20Analysis%20with%20Ref%20to%20Rainfall%20%26%20Discharge%20Data.pdf> (Pridobljeno 20. 7. 2013.)

Korenjak Černe, S. Statistične metode.

<http://physics.fe.uni-lj.si/members/blaz/StatMet11.pdf> (Pridobljeno 29. 4. 2013.)

Logaritemsko normalna porazdelitev. 2013.

[http://sl.wikipedia.org/wiki/Logaritemsko\\_normalna\\_porazdelitev](http://sl.wikipedia.org/wiki/Logaritemsko_normalna_porazdelitev) (Pridobljeno 10. 7. 2013.)

Mikoš, M., Krajnc, A., Matičič, B., Müller, J., Rakovec, J., Roš, M., Brilly, M. 2003. Hidrološko izrazje = Terminology in hydrology. Acta hydrotechnica 20, 32.

<http://ksh.fgg.uni-lj.si/KSH/index.htm/> (Pridobljeno 28. 04. 2013.)

Ministrstvo za okolje in prostor RS. 2010. Hidrološko poročilo o povodnji v dneh od 17. do 21. septembra 2010.

<http://www.arsos.si/vode/poro%C4%8Dila%20in%20publikacije/Poplave%2017.%20-%202021.%20september%202010.pdf> (Pridobljeno 10. 8. 2013.)

Mkhandi, S., Opere, A.O., Willems, P. Comparison between annual maximum and peaks over threshold models for flood frequency prediction.

[http://www.unesco.org/fileadmin/MULTIMEDIA/FIELD/Cairo/pdf/COMPARISON\\_BETWEEN\\_ANNUAL\\_MAXIMUM.pdf](http://www.unesco.org/fileadmin/MULTIMEDIA/FIELD/Cairo/pdf/COMPARISON_BETWEEN_ANNUAL_MAXIMUM.pdf) (Pridobljeno 25. 7. 2013.)

Nemec, J. 2009. Statistika. Maribor, Univerza za Maribor, Fakulteta za kmetijstvo in biosistemsko vede: 156 str.

Normalna porazdelitev. 2013.

[http://sl.wikipedia.org/wiki/Normalna\\_porazdelitev](http://sl.wikipedia.org/wiki/Normalna_porazdelitev) (Pridobljeno 10. 7. 2013.)

Oregon State University. 2005. Streamflow evaluations for watershed restoration planning and design.

<http://streamflow.enr.oregonstate.edu/analysis/annual/index.htm#mm> (Pridobljeno 20. 7. 2013.)

Porazdelitev gama. 2013.

[http://sl.wikipedia.org/wiki/Porazdelitev\\_gama](http://sl.wikipedia.org/wiki/Porazdelitev_gama) (Pridobljeno 10. 7. 2013)

Raghunath, H. 2006. Hydrology. Manipal, Manipal Institute of Technology: 477 str.

Turk, G. 2008. Verjetnostni račun in statistika. Ljubljana, Univerza v Ljubljani, Fakulteta za gradbeništvo in geodezijo: 246 str.

United States Department of Agriculture. 2000. Selected statistical methods.

<http://www.hydrocad.net/neh/630ch18.pdf> (Pridobljeno 5. 7. 2013)

Wigboust, M. 1973. Limitations in the use of double-mass curves.

[http://www.hydrologynz.org.nz/downloads/JoHNZ\\_1973\\_v12\\_2\\_Wigboust.pdf](http://www.hydrologynz.org.nz/downloads/JoHNZ_1973_v12_2_Wigboust.pdf)

(Pridobljeno 15. 7. 2013)

